

## ÁTOMOS MULTIELECTRÓNICOS

Sea un átomo con  $Z$  electrones:

$$H = \sum_{i=1}^Z \left[ \frac{p_i^2}{2m} - \frac{Ze^2}{4\pi\epsilon_0 r_i} \right] + \frac{1}{2} \sum_{i=1}^Z \sum_{j=1, j \neq i}^Z \frac{e^2}{4\pi\epsilon_0 |\vec{r}_i - \vec{r}_j|}$$

en principio podríamos pensar en aplicar teoría de perturbación. Pero:

$$\frac{\frac{1}{2} \sum_{i=1}^Z \sum_{j=1, j \neq i}^Z \frac{e^2}{4\pi\epsilon_0 |\vec{r}_i - \vec{r}_j|}}{\sum_{i=1}^Z \frac{Ze^2}{4\pi\epsilon_0 r_i}} \sim \frac{\frac{1}{2} Z(Z-1) \frac{e^2}{4\pi\epsilon_0 R}}{Z \frac{Ze^2}{4\pi\epsilon_0 R}} = \frac{Z-1}{2Z}$$

Supongamos que el cuadro de los términos es similar a del orden de los términos  $e^2$ ,  $e^{-1}$  o  $1$ .

•  $Z=2$  ( $H_2$ ) vale  $\frac{1}{4}$  que es relativamente pequeño (ya viene lo que da)

•  $Z=3$  ( $Li$ ) vale  $\frac{1}{3}$

•  $C$  vale  $\frac{5}{12}$

$\rightarrow \frac{1}{2} \Rightarrow E$  demasiado grande para hacer una perturbación

Vamos a intentar diferentes métodos para resolver.

## APROXIMACIÓN DE CAMPO CENTRAL

. Cómo con toda la carga está en el núcleo, suponemos que cada  $e^-$  evoluciona sujeto a un potencial experimente simétrico debido tanto a la situación con el núcleo como con el resto de  $e^-$ .

. La pregunta es:

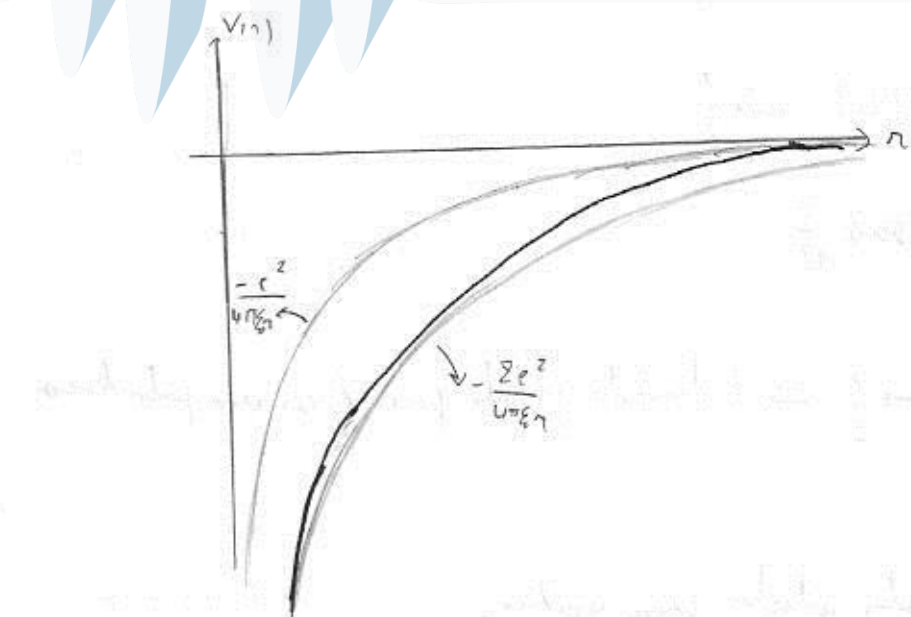
¿Cómo hallar el campo central?

¿Cómo mejoramos esta aproximación?

Vamos al caso:

$$V(r) = -\frac{Ze^2}{4\pi\epsilon_0 r} \quad \text{si } r \rightarrow 0 \quad (\text{solo vecindad})$$

$$V(r) = -\frac{e^2}{4\pi\epsilon_0 r} \quad \text{si } r \rightarrow \infty \quad (\text{vecindad entre } Z \text{ protones y } Z \text{ electrones})$$



Además, al ser un problema central,  $\Psi_{nlm}(\vec{r}_i) = R_{nl}(r_i) Y_l^m(\theta_i, \varphi_i)$

$$E = E_{nl}$$

$$E_{n_1} > E_{n_2} \text{ si } l_1 > l_2 \text{ (por el momento angular es alta, el electrón está más lejos del núcleo)}$$

Separo los  $e^-$  en capas, por  $n$ , y subcapas, por  $l$

mi intención es hallar  $R_{nl}$  y  $E_{nl}$ . Además, para escribir el estado cuántico de los  $Z$  electrones, tendré que aplicar lo que sé de partículas idénticas.

• Pero el potencial depende de los estados cuánticos, que dependen del potencial!

### MÉTODO DE HARTREE

- Esperanza con fuentes hidrogenoides ( $Z$  fuentes que vamos llenando según Pauli)
- Planteo  $Z$  en capas:

$$H_i \Psi_{(nlm)}^{(1)}(\vec{r}_i) = E_{(nl)}^{(1)} \Psi_{(nlm)}^{(1)}(\vec{r}_i)$$

con

$$H_i = -\frac{\hbar^2}{2m} \nabla_i^2 - \frac{Ze^2}{4\pi\epsilon_0 r_i} + \frac{1}{4\pi} \int d\vec{r} \sum_{j=1}^Z \int \left| \Psi_{(nlm)}^{(1)}(\vec{r}_j) \right|^2 \frac{e^2}{4\pi\epsilon_0 |\vec{r}_i - \vec{r}_j|} d\vec{r}_j$$

Primeros (que ya no se refiere a la interacción de cada  $e^-$  en el resto)

esto es un método iterativo que se resuelve numéricamente

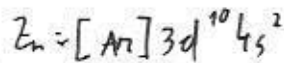
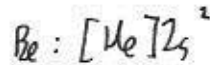
- Conviene tener en cuenta el spin, no tiene sentido simplizar:

$$\Psi(\vec{r}_1, \dots, \vec{r}_Z) = \underbrace{\Psi_1^{(1)} \Psi_2^{(1)} \dots \Psi_Z^{(1)}}_{\substack{\text{intento el Hartree} \\ \text{de quererlo en separado}}}$$

La energía vale  $E = \langle \Psi | H | \Psi \rangle$

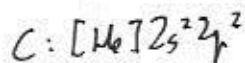
intento el Hartree  
de quererlo en separado)

Si el atomo es de capa cerrada (todas las capas completas), por Pauli sólo hay un estado cuántico posible. P.ej.:



Si la capa abierta, tengo libertad para elegir el nivel de partición  $\Rightarrow$  hay degeneración.

P.ej.:



Para comparar esto con el experimento, se puede redir la energía de ionización:

$$E_{ion.} = \langle \psi | H^2 | \psi \rangle - \langle \psi | H^{2,1} | \psi \rangle \rightarrow 0.01!$$

atm. a atm.  
base  
base

No es la energía del átomo, es  
el trabajo que gasta  
(el que se pierde) para separar  
y la energía del polo)

matchan bastante bien.

Y, aunque los  $E_{pol.}$  no se pueden redir, si se puede redir su diferencia.

Usa otro método (de Hartree-Fock) que tiene cuenta el spin  $\uparrow$  y, aunque riguroso el de Hartree, la diferencia no es tan grande.

Volvemos a las energías:

$\sum E_{pol.}$  es el trabajo realizado al:

Retira un  $e^-$  y desvuelve

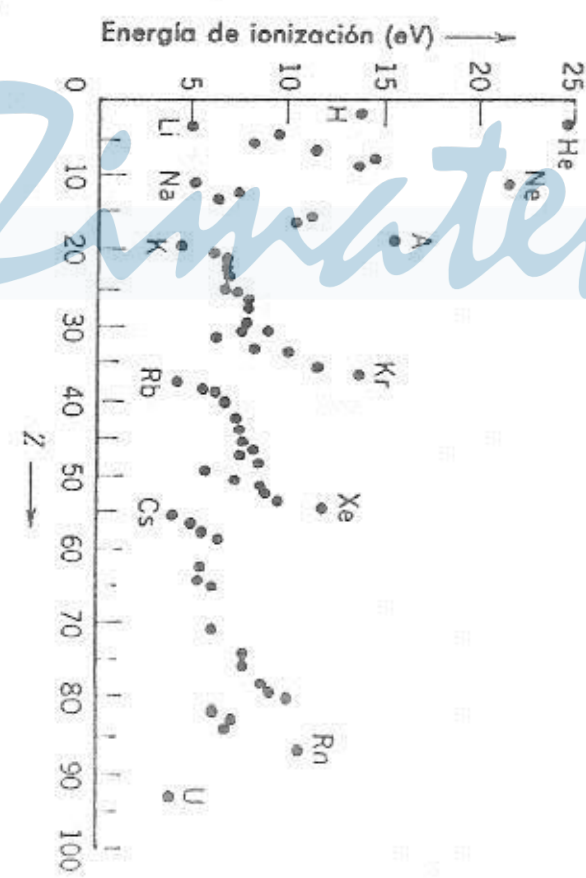
que no parcialmente  
el potencial se acosa

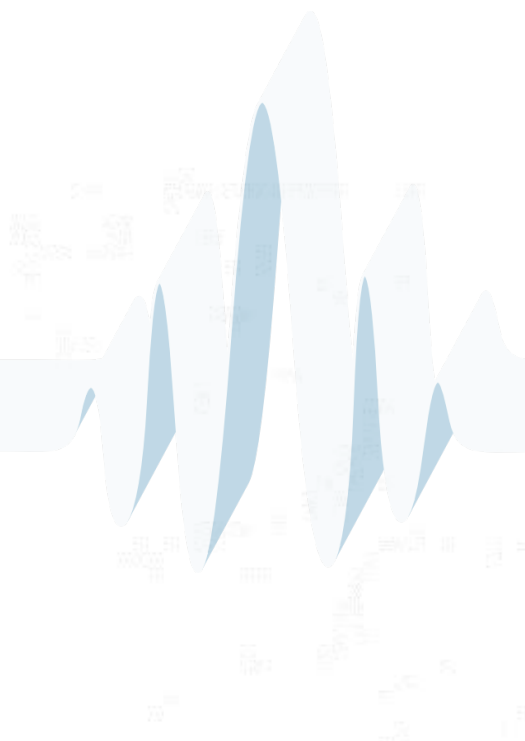
Retira otro  $e^-$  y desvuelve

:

Repitiendo todos los  $e^-$

La energía del átomo se obtiene considerando que al retirar cada  $e^-$  el potencial varía





# Zimatek



$$E = \langle U \rangle = \langle \psi | H | \psi \rangle = \langle \psi | \sum_i p_i | \psi \rangle + \frac{1}{2} \sum_{i=1}^z \sum_{\substack{j=1 \\ j \neq i}}^z \langle \psi | g_{ij} | \psi \rangle; \text{ con}$$

$$p_i = \frac{e^2}{2m} - \frac{ze^2}{4\pi\epsilon_0 n_i}$$

$$g_{ij} = \frac{e^2}{4\pi\epsilon_0 r_{ij}}$$

se que los de la 1

pero:

$$\langle \psi | g_{ij} | \psi \rangle = \int d\vec{r}_i d\vec{r}_j |\psi_i|^2 |\psi_j|^2 g_{ij}$$

Solo para  
 $\psi_i$  y  $\psi_j$ , el resto  
 sale del resultado  
 es 0 y vale 1 por  
 ortogonalidad

an,

$$E = \langle \psi | \sum_i p_i | \psi \rangle + \frac{1}{2} \sum_{i=1}^z \sum_{\substack{j=1 \\ j \neq i}}^z \int d\vec{r}_i d\vec{r}_j |\psi_i|^2 |\psi_j|^2 g_{ij}$$

por otra parte,

$$\sum_i E_{(p)}_i = \sum_i \langle U_i \rangle = \sum_i \langle \psi | H_i | \psi \rangle = \sum_i (\langle \psi | p_i | \psi \rangle +$$

$$+ \int d\vec{r}_i \psi_i^* \left[ \sum_{\substack{j=1 \\ j \neq i}}^z \int d\vec{r}_j |\psi_j|^2 g_{ij} \right] \psi_i)$$

$$= \langle \psi | \sum_i p_i | \psi \rangle + \sum_{i=1}^z \sum_{\substack{j=1 \\ j \neq i}}^z \int d\vec{r}_i d\vec{r}_j |\psi_i|^2 |\psi_j|^2 g_{ij} = \sum_i E_{(p)}_i$$

luego:

$$E = \sum_i E_{(p)}_i - \frac{1}{2} \sum_{i=1}^z \sum_{\substack{j=1 \\ j \neq i}}^z \int d\vec{r}_i d\vec{r}_j |\psi_i|^2 |\psi_j|^2 g_{ij}$$

$E = 28.62 \text{ eV}$   
 Esto no es para nodo degenerado  $1g$ .  $U_e = -4.8 \text{ eV}$

# PREDICCIONES DEL MÉTODO DE HARTREE

• Existe una jerarquía de niveles de energía: el orden es el mismo, sólo varía el valor absoluto. Esto permite explicar toda la tabla periódica.

• Hay capas con energías muy similares, no así que al aumentar  $Z$  varía el orden.

• Capas: calculan la probabilidad de encontrar un  $e^-$  en el entorno de un punto  $r$ ; radio de del nivel: (PARA CAPAS LLENAS)

$$P_{nl}(n) dr = \sum_{i \in nl} |\psi_{nlm_i}(r)|^2 dr =$$

→ que cumple  
 la integral de probabilidad radial  
 de la órbita

$$= 2 \sum_{n=l}^l |\psi_{nlm_l}(r)|^2 dr = 2 |R_{nl}(n)|^2 r^2 dr \sum_{m=-l}^l |Y_m^{(n)}(\theta, \phi)|^2 d\Omega$$

→ tomó dirección de los orbitales sencillos

Si integramos sobre  $\theta$  y  $\phi$ , se vale  $4\pi$ :

$$P_{nl}(n) dr = 2 (2l+1) |R_{nl}(n)|^2 r^2 dr \rightarrow$$

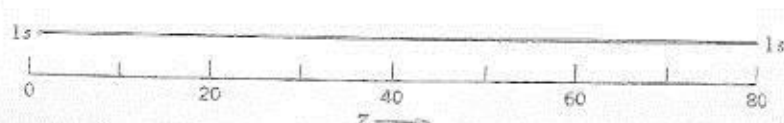
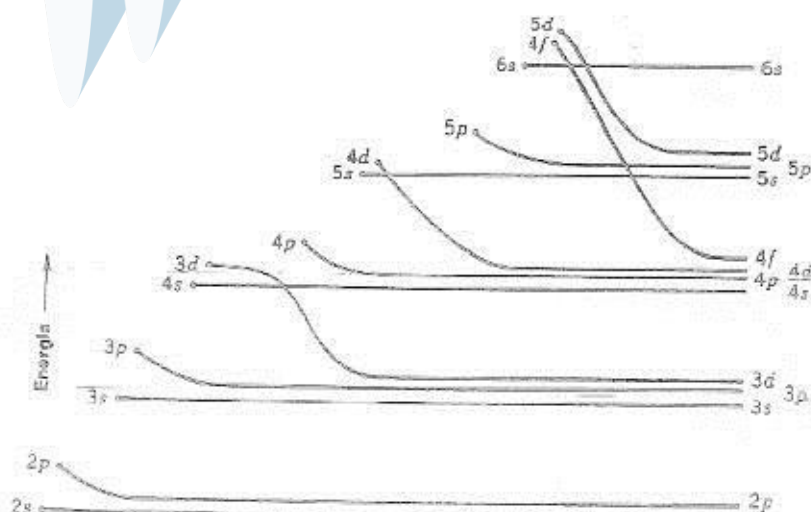
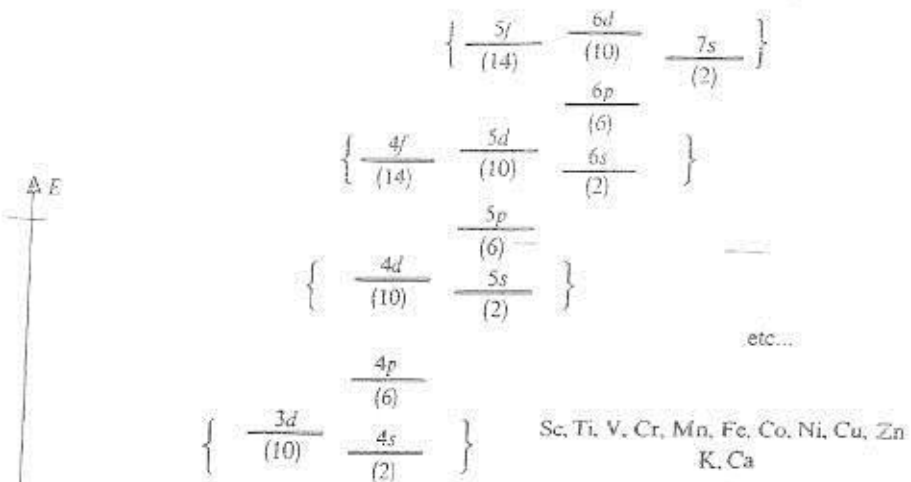
la medida de probabilidad radial

$$P_{nl}(n) = 2 (2l+1) |R_{nl}(n)|^2 r^2$$

y en sumo para toda la capa:  $P_n(n) = \sum_{l=0}^{n-1} P_{nl}(n)$

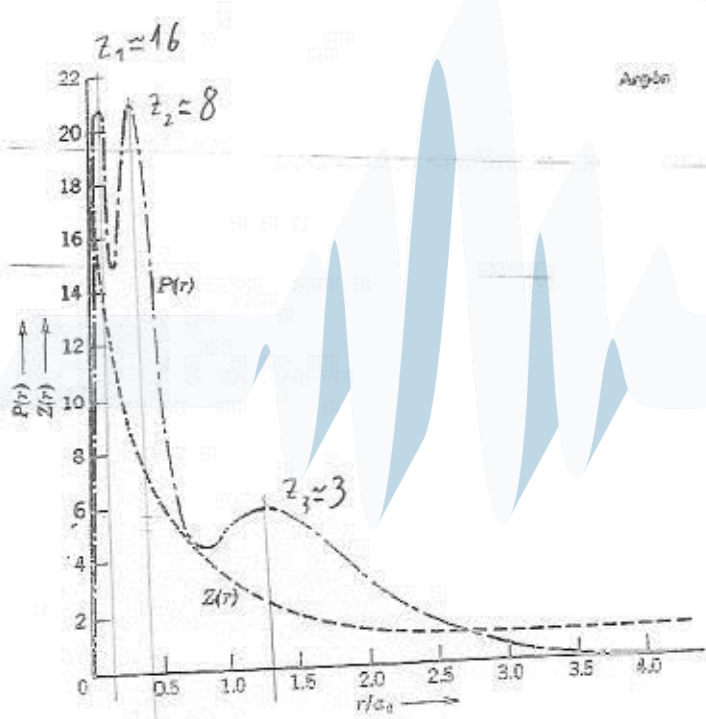
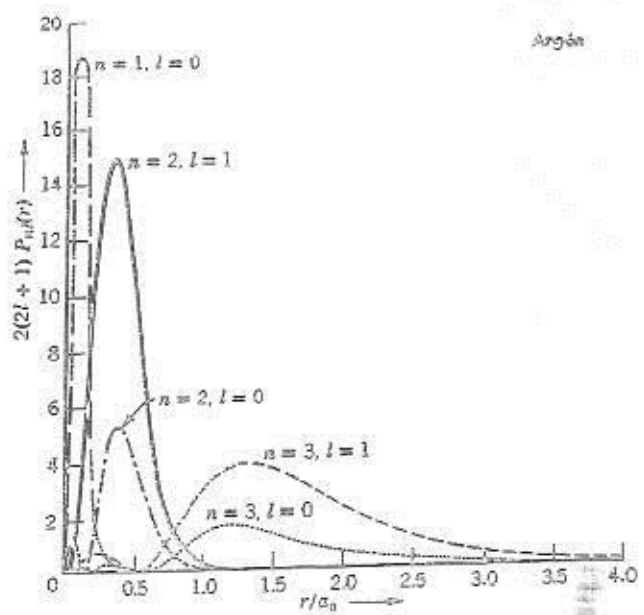
mirando los resultados cualitativos, el número de probabilidad radial sólo depende de  $n$   $\Rightarrow$  El átomo está organizado en capas (señal por K, L, M...)

Liberada  $r$ ,  $P_n$  tiene UN radio

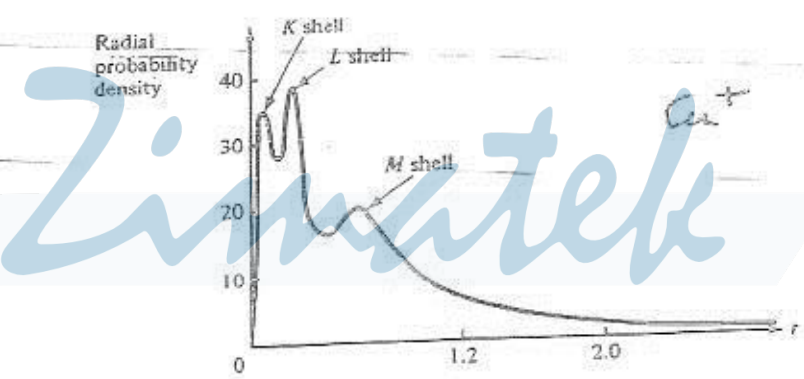


# Zimatek





$Z_{An} = 18$



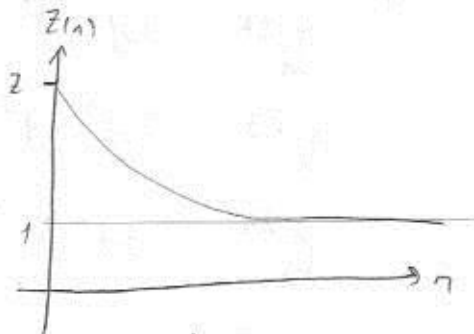
# Zimatek



Martres predice, ademá, el potencial:  $- \frac{Z e^2}{4\pi \epsilon_0 r} + \frac{1}{4\pi} \int dR \sum_{j=1}^{\infty} \int |\psi_{(nl)}^{(nj)}|^2 \frac{e^2}{4\pi \epsilon_0 |r_j - R|} dr_j$

• Esto se puede escribir como:

$$V(r) = - \frac{Z(r)e^2}{4\pi \epsilon_0 r}$$



↓  
en las fotocopias este dibujo tiene el An

• Así, en la capa  $n$ , el potencial es:

$$V_n(r) = - \frac{Z_n e^2}{4\pi \epsilon_0 r_n}; \text{ con } Z_n = Z(r) \Big|_{r=r_n} \quad (r_n = \text{el radio de la capa})$$

se cumple bastante bien:

$$Z_1 = Z - 2 \Rightarrow \text{Un atomo de nitrógeno tiene un cargo } -2e^- \text{ (negativo)}$$

y para la última capa:

$$Z_n = n \quad (\text{esto para } n \text{ grande, no vale})$$

• E lo que resalta a los radios:

$$\cdot \text{Atomo hidrogenoide: } \langle r \rangle \approx \frac{n^2 a_0}{3}$$

$$\cdot \text{Radio de la 1: capa para otros átomos: } \langle r \rangle \approx \frac{a_0}{Z-2}$$

$$\cdot \text{Para la capa } n \text{ extra, } \langle r_n \rangle \approx n a_0 \quad (\text{para alto, } \langle r_1 \rangle < \langle r_n \rangle)$$

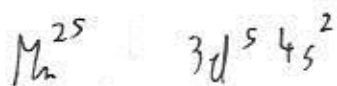
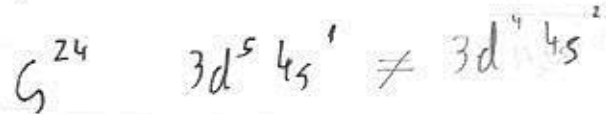
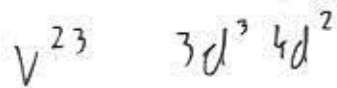
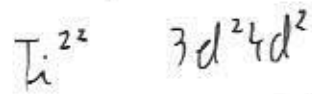
• Y las energías:

$$\cdot \text{Atomo hidrogenoide: } E_n = -\frac{Z^2}{n^2} \left( \frac{e^2}{2a_0} \right) \Rightarrow E_{1,4} = -\frac{e^2}{2a_0}$$

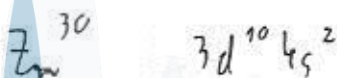
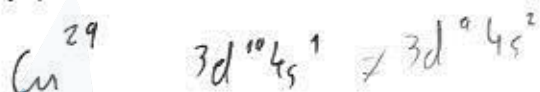
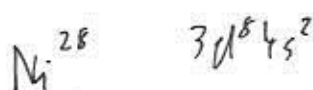
$$\cdot \text{Energía de la 1: capa para otros átomos: } E_1 \approx -(Z-2)^2 \frac{e^2}{2a_0}$$

$$\cdot \text{Para la capa } n \text{ extra, } E_n \approx -\frac{e^2}{2a_0^2} \rightarrow \text{El ultimo } e^- \text{ tiene energía igual al hidrógeno}$$

la estructura por capas prevé la tabla periódica y las configuraciones electrónicas, por tanto. May, de todas formas, algunas excepciones. P. ej.:



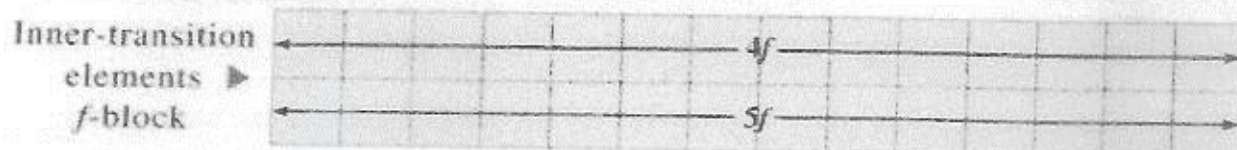
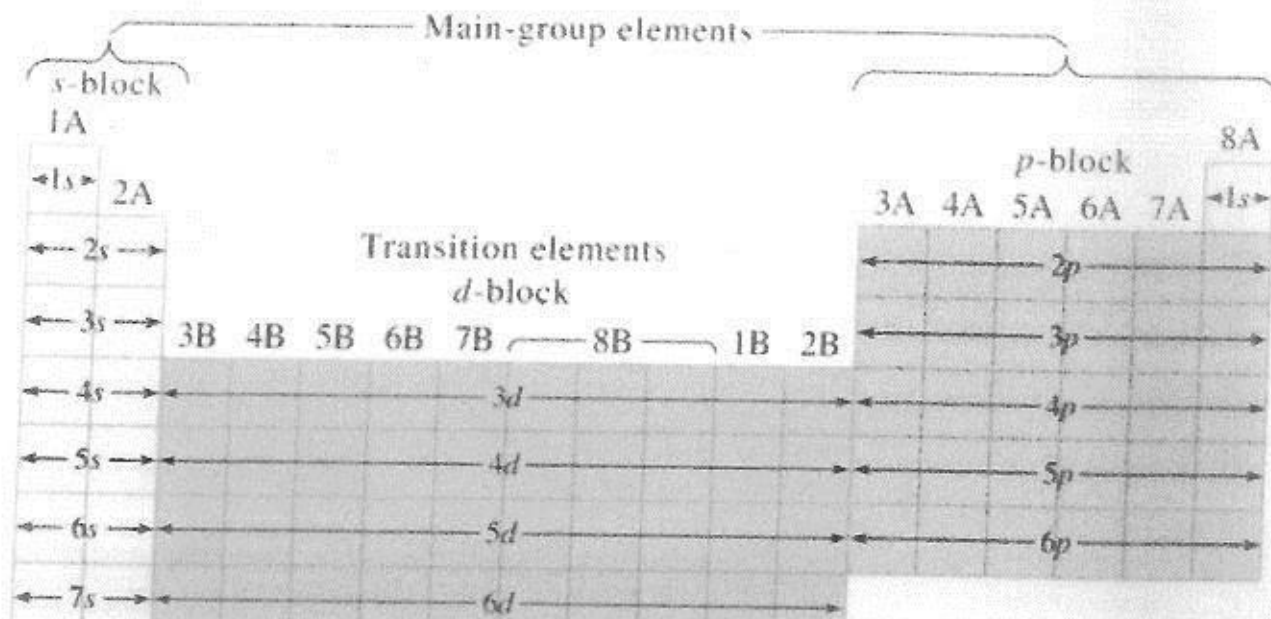
O



son debidas a la presión en

la aparición de huecos de los níquel.

Zimatek



Explore key information about the chemical elements through this periodic table

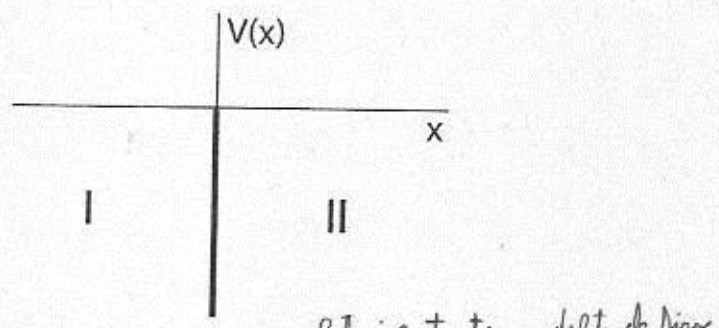
Group	1	2	3	4	5	6	7	8	9	10	11	12	13	14	15	16	17	18
Period	1	2	3	4	5	6	7	8	9	10	11	12	13	14	15	16	17	18
1	H																	
2	Li	Be																
3	Na	Mg																
4	K	Ca	Sc	Tl	V	Cr	Mn	Fe	Co	Ni	Cu	Zn	Ga	Ge	As	Se	Br	Kr
5	Rb	Sr	Y	Zr	Nb	Mo	Tc	Ru	Rh	Pd	Ag	Cd	In	Sn	Sb	Te	I	Xe
6	Cs	Ba	*	Lu	Hf	Ta	W	Re	Os	Ir	Pt	Au	Hg	81	82	83	84	85
7	Fr	Ra	**	103	104	105	106	107	108	109	110	111	112	113	114	115	116	117
*																		
Lanthanoids																		
**																		
Actinoids																		
*																		
La Ce Pr Nd Pm Sm Eu Gd Tb Dy Ho Er Tm Yb																		
**																		
89 90 91 92 93 94 95 96 97 98 99 100 101 102 103 104 105 106 107																		
Ac Th Pa U Np Pu Am Cm Bk Cf Es Fm Md No																		

# Zimatek



# EJEMPLO DEL MÉTODO DE HARTREE:

## Átomo unidimensional con dos electrones:



Para cada electrón

$$V(x) = -Ze^2\delta(x) \quad e^2 = \frac{q_e^2}{4\pi\epsilon_0}$$

$$-\frac{\hbar^2}{2m} \frac{d^2\psi}{dx^2} - Ze^2\delta(x)\psi = E\psi$$

Para estados ligados  $E < 0$  se tiene que  $\psi_I = Ae^{\kappa x}; \psi_{II} = Be^{-\kappa x}$

- Condición de continuidad en  $x = 0$
- Condición de contorno de la derivada
- Condición de normalización

$$\psi(x) = \sqrt{\frac{Z}{a_0}} e^{-\frac{Z}{a_0}|x|}$$

Existe un único valor de energía  $E = -\frac{Z^2e^2}{2a_0}$

Vamos a adimensionalizar el problema mediante el siguiente cambio de variable:

$$y = \frac{Z}{a_0}x \Rightarrow \frac{d}{dx} = \frac{d}{dy} \frac{Z}{a_0} \Rightarrow \frac{d^2}{dx^2} = \frac{d^2}{dy^2} \left( \frac{Z}{a_0} \right)^2$$

Por otro lado



Zimatek

$$\int_{-\infty}^{\infty} \delta(x) dx = 1 \Rightarrow \frac{a_0}{Z} \int_{-\infty}^{\infty} \delta\left(\frac{a_0}{Z}y\right) dy = 1 \Rightarrow \frac{a_0}{Z} \delta\left(\frac{a_0}{Z}y\right) = \delta(y) \Rightarrow \delta(x) = \frac{Z}{a_0} \delta(y)$$

con lo cual el hamiltoniano resulta

$$H = \frac{Z^2 me^4}{\hbar^2} \left[ -\frac{1}{2} \frac{d^2}{dy^2} - \delta(y) \right]$$

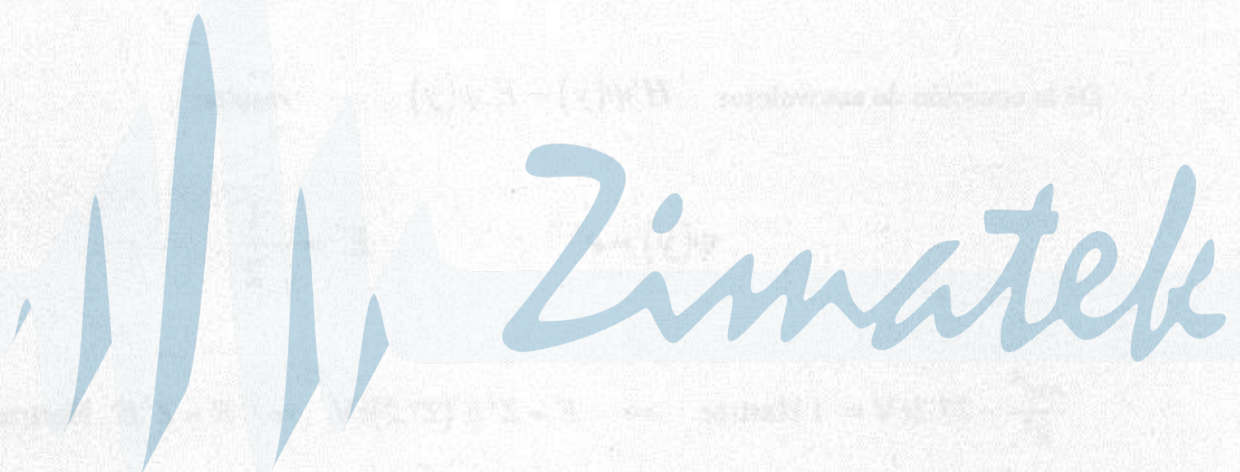
$$H' = -\frac{1}{2} \frac{d^2}{dy^2} - \delta(y)$$

De la ecuación de autovalores  $H'\psi(y) = E'\psi(y)$  resulta:

$$\frac{me^4}{\hbar^2} = 27.2 \text{ eV} = 1 \text{ Hartree} \Rightarrow E = Z^2 E' (27.2) \text{ eV} \Rightarrow E = Z^2 E' \text{ Hartrees}$$

Consideramos ahora que tenemos dos electrones. El hamiltoniano adimensional  $H'$  es

$$H' = -\frac{1}{2} \frac{\partial^2}{\partial y_1^2} - \delta(y_1) - \frac{1}{2} \frac{\partial^2}{\partial y_2^2} - \delta(y_2) + \underbrace{\frac{1}{Z} \delta(y_1 - y_2)}_{\text{Longe la sección elástica es grande}}$$



### Método de Hartree:

En general  $\psi(r_1, \dots, r_Z) = \varphi_{n_1}(r_1) \cdots \varphi_{n_Z}(r_Z)$ , donde las funciones  $\varphi_{n_i}(r_i)$  cumplen

$$H_i \varphi_{n_i}(\mathbf{r}_i) = E_{n_i} \varphi_{n_i}(\mathbf{r}_i)$$

↳ Como en general esto no es soluble, se plantea un método iterativo partiendo de una función delatada de Hartree.

siendo  $H_i = -\frac{\hbar^2}{2m} \nabla_i^2 - \frac{Ze^2}{r_i} + \sum_{\substack{j=1 \\ j \neq i}}^Z \int \frac{|\varphi_{n_j}(\mathbf{r}_j)|^2 e^2}{|\mathbf{r}_i - \mathbf{r}_j|} d\mathbf{r}_j$ .

En nuestro caso tenemos:  $\psi(y_1, y_2) = \phi(y_1)\phi(y_2) \Rightarrow$  dos ecuaciones.

Para  $y_1$

$$\begin{aligned} & -\frac{1}{2} \frac{d^2 \phi(y_1)}{dy_1^2} + \left[ -\delta(y_1) + \left[ \frac{1}{Z} \int \phi(y_2)^2 \delta(y_1 - y_2) dy_2 \right] \right] \phi(y_1) = \varepsilon_1 \phi(y_1) \\ & \Rightarrow -\frac{1}{2} \frac{d^2 \phi(y_1)}{dy_1^2} - \delta(y_1) \phi(y_1) + \frac{1}{Z} \phi(y_1)^2 \phi(y_1) = \varepsilon_1 \phi(y_1) \end{aligned} \quad (1)$$

Para  $y_2$

$$-\frac{1}{2} \frac{d^2 \phi(y_2)}{dy_2^2} + \left[ -\delta(y_2) + \left[ \frac{1}{Z} \int \phi(y_1)^2 \delta(y_1 - y_2) dy_1 \right] \right] \phi(y_2) = \varepsilon_1 \phi(y_2)$$

$$\Rightarrow -\frac{1}{2} \frac{d^2 \phi(y_2)}{dy_2^2} - \delta(y_2) \phi(y_2) + \frac{1}{Z} \phi(y_2)^2 \phi(y_2) = \varepsilon_1 \phi(y_2) \quad (2)$$



Zimatek

Las ecuaciones (1) y (2) son idénticas y pueden expresarse como

$$-\frac{1}{2} \frac{d^2\phi(y)}{dy^2} - \delta(y)\phi(y) + \frac{1}{Z}\phi(y)^3 = \varepsilon\phi(y) \quad (3)$$

Si encontramos la solución de la ecuación (3) el problema está resuelto sin necesidad de método autoconsistente. (iterativo)

El problema es muy simple debido a que hay solo dos electrones en el mismo estado y la interacción es del tipo delta de dirac.

La solución de la ecuación (3) es

$$\phi(y) = 2\alpha C \sqrt{Z} \frac{e^{-\alpha|y|}}{1 - C^2 e^{-2\alpha|y|}} \quad \alpha = \sqrt{-2\varepsilon}$$

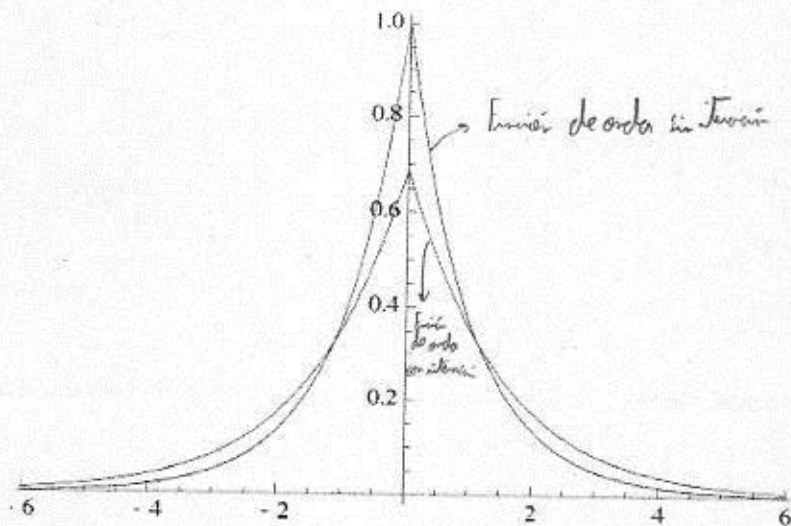
$\varepsilon$  y  $C$  se obtienen a partir de la condición de contorno en  $y = 0$  y de la condición de normalización de  $\phi(y)$ . Resulta

$$\phi(y) = \left(2 - \frac{1}{Z}\right) \sqrt{Z} \frac{1}{\sqrt{4Z-1}} \frac{e^{-\left(1-\frac{1}{2Z}\right)|y|}}{\left(1 - \frac{e^{-\left(2-\frac{1}{Z}\right)|y|}}{4Z-1}\right)}$$

En la siguiente figura se representan las funciones  $\phi(y)$  y  $\psi(y) = e^{-|y|}$  para  $Z = 2$ .



Zimatek



La energía del átomo en el estado estacionario  $\psi(y_1, y_2) = \phi(y_1)\phi(y_2)$  es

$$\begin{aligned} \langle \psi | H' | \psi \rangle &= \int dy_1 dy_2 \phi(y_1)\phi(y_2) H' \phi(y_1)\phi(y_2) = \\ &= \int dy_1 dy_2 \phi(y_1)\phi(y_2) \left[ -\frac{1}{2} \frac{\partial^2}{\partial y_1^2} - \frac{1}{2} \frac{\partial^2}{\partial y_2^2} - \delta(y_1) - \delta(y_2) + \frac{1}{Z} \delta(y_1 - y_2) \right] \phi(y_1)\phi(y_2), \end{aligned}$$

lo que resulta

$$E' = \langle \psi | H' | \psi \rangle = 2\varepsilon - \frac{1}{Z} \int_{-\infty}^{\infty} \phi(y)^4 dy = - \left[ \left( 1 - \frac{1}{4Z} \right)^2 + \frac{1}{48Z^2} \right]$$

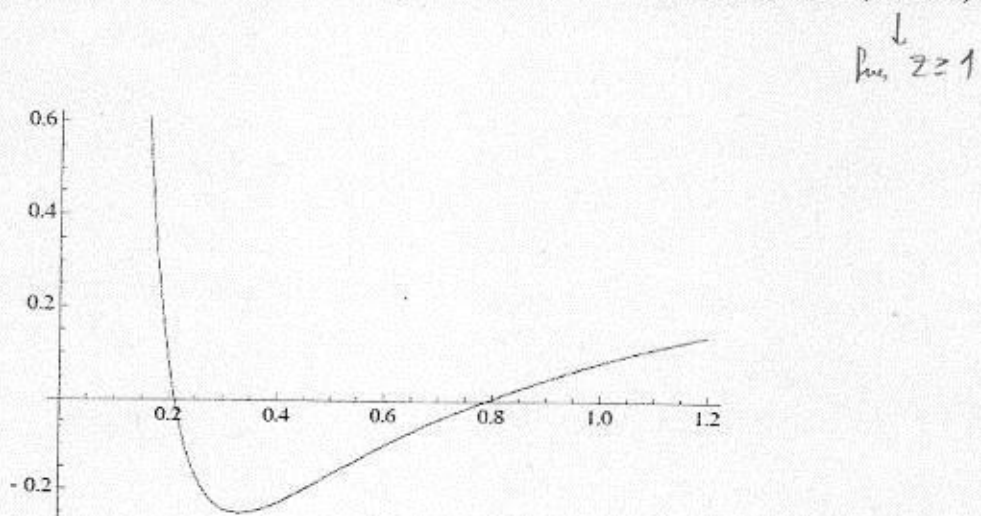
Energía de ionización:

$$\begin{array}{c} \text{Energía de ionización} \\ \uparrow \\ U' = E'_{He^+} - E'_{He} = -\frac{1}{2} + \left[ \left( 1 - \frac{1}{4Z} \right)^2 + \frac{1}{48Z^2} \right] = \frac{1}{2} - \frac{1}{2Z} + \frac{1}{2Z^2} \\ \downarrow \\ \text{Energía en } 2e^- \end{array}$$



Zimatek

¿Es estable el átomo? Lo es si su energía de ionización es positiva, es decir, si cuesta trabajo extraer un electrón. En la siguiente figura se representa  $U'$  en función de  $Z$ . Puede verse que el átomo es estable salvo para valores de  $Z$  entre 0.21 y 0.79 (irreales).





Zimatek

## CORRECCIONES AL MÉTODO DE HARTREE

- Para capas cerradas,  $V(\vec{r}_i) = \sum_{j=1}^Z \int_{\text{capa } j} \Psi_{(n_l l_m)}^{(n_j l_m)}(\vec{r}_j) \frac{e^2}{4\pi\epsilon_0 |\vec{r}_i - \vec{r}_j|} d\vec{r}_j$ ; es decir, si el enfoque es correcto (como ya vimos); así que una aproximación que hace Hartree es predecir: para capas incompletas, producirán el mismo resultado.

- Esto se conoce como interacción residual de Coulomb (IRC); y se trata como una perturbación.

El valor primitivo de la energía:

$$\langle 41414 \rangle \quad (\text{con } 14 > \text{ANTISIMETRIZADO} \text{ porque libélula de capas cerradas, lo cual solo aplica por el principio de exclusión de Pauli})$$

degenerado solamente para capas abiertas  $\Rightarrow$  la IRC va a desdibujar esta degeneración!!!!.

- Como hacer perturbación residual determinante de Slater es un punto, vamos a desarrollar un método cualitativo.

Montaje de spin total

- Como vimos en 1D, se genera un singlete con  $S=0$  y un triplete con  $S=1$ . De la misma manera, la interacción va a acoplar los momentos angulares (tanto  $\vec{l} \cos \vec{s}$ )

Multiplicidad  $2S+1$

Ejemplo trivial: Los subniveles los dieron términos espectroscópicos, y los dieron para

P.ej.:  $^1S \quad ^3P \quad ^5D \dots$

(la degeneración vale  $(2S+1)(2L+1)$ )

Ejemplo trivial: Todas las capas cerradas

$$\sum_i (m_s)_i = 0 \Rightarrow M_s = 0 \Rightarrow L = 0$$

$$\sum_i (m_s)_i = 0 \Rightarrow M_s = 0 \Rightarrow S = 0 \quad \text{no degenerado}$$

El término espectroscópico es  $^1S$ ,

Ag:  $4d^{10} 5s^1 \Rightarrow$  Sólo  $5s^-$ , de  $L=0$   
 $S = \frac{1}{2}$   $\Rightarrow$  2 tipos s desdoblados,  $g_{\text{total}} = 2$   
 $\downarrow$   
Sólo hay 1 punto  $2^{\frac{1}{2}, \frac{1}{2}}$

1º excited:

$1s \ 2s \Rightarrow$  S tiene 2 posibilidades  $\begin{pmatrix} 0 \\ 1 \end{pmatrix}$ , así, hay 2 niveles  $1s \quad 3s$   
 $L=0$   $\downarrow$   $g=1 \quad g=3$   
 $l_1=0, l_2=0$

$1s \ 2p \Rightarrow$   $S = 0, 1$ , 2 niveles  $1p \quad 3p$   
 $L=1$   $\downarrow \quad \downarrow$   $g=3 \quad g=9$   
 $l_1=0, l_2=1$

Así, el estado excited del  $1s$  está formado por 4 niveles,

2º excited:  $[Ar] 3d^{10} 4s^2 4p^2 \Rightarrow [Ar] 3d^{10} 4s^2 4p^1 4d^1$

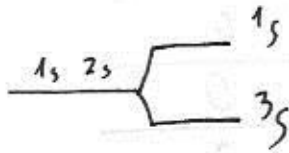
$4p \quad 4d$   $\Rightarrow S = 0, 1$ , hay así 6 niveles:  
 $s_1 = \frac{1}{2}, s_2 = \frac{1}{2}$   
 $l_1 = 1, l_2 = 2 \Rightarrow L = 1, 2, 3$   
 $\downarrow$  de  $2 \cdot 1 + 2 + 1$

$1p \quad 3p \quad 1d \quad 3d \quad 1F \quad 3F$   
 $g=3 \quad g=9 \quad g=5 \quad g=15 \quad g=7 \quad g=21 \Rightarrow$  Son 60, considerando simetría y paridad  
Total  $6 \cdot 10 = 60$  posibilidades)

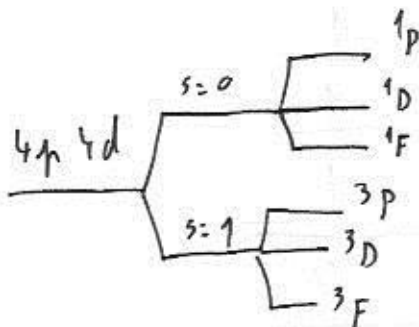
Para conocer el orden de energía, existen las reglas de Hund:

- A menor multiplicidad, mayor energía (prior se ordena a multiplicidad, y dentro)
- A mayor  $L$ , menor energía

Anílisis para el He:



Ges:



Estado fundamental del Ge/c:  $4f^2/2f^2$

$$s_1 = \frac{1}{2} \quad s_2 = \frac{1}{2} \Rightarrow S = 0, 1$$

$$l_1 = 1 \quad l_2 = 1 \Rightarrow L = 0, 1, 2$$

$$\begin{array}{cccccc} 1s & 3s & 1p & 3p & 1d & 3d \\ g:1 & g:3 & g:3 & g:9 & g:3 & g:15 \Rightarrow 36 \\ \downarrow & & & & & \downarrow \\ \text{Pero como hay en todo tipo } j, \text{ tipo } \binom{6}{2} \text{ combinaciones.} \\ \binom{6}{2} = 15 \neq 36 \end{array}$$

El problema es que estoy considerando que  $2e^-$  pertenecen a el mismo orbital cuántico, pero cada orbital es el mismo hay que repetir tantill!!.

Hay que contar

Véase en cierto, con girarlos en  $1D$ , se decautelado de  $S^2$  y  $L^2$ . Se nota que lo que viene se perturba sin resaltarse. De este modo, el problema es hallar los posibles valores de  $S$  y  $L$  y contar. El problema es que, al estar con partículas idénticas, no todos los autostados son posibles, así que hay que buscarlos a mano. La pregunta que debe hacer el profesor: ¿por qué luego coges el algo?

• Problema final

La probabilidad de tener  $L/3$  electrones

$N_{\text{paarbild}}$	-1	0	1	$M_L$	$M_S$
3	$\uparrow \downarrow$			-2	0
		$\uparrow \downarrow$		0	0
			$\uparrow \downarrow$	2	0
3	1	1	-1	-1	1
	1	1	1	1	1
	1		1	0	1
3	$\uparrow$	$\downarrow$		-1	0
		$\uparrow$	1	1	0
	$\uparrow$		$\downarrow$	0	0
3	$\downarrow$	$\downarrow$		-1	-1
		$\downarrow$	$\downarrow$	1	-1
	$\downarrow$		$\downarrow$	0	-1
3	$\downarrow$	1		-1	0
		$\downarrow$	1	0	0
	$\downarrow$		1	1	0

↓

Sum 15, cordebris

Ahora hay que construir la tabla de términos implicados:

$M_s$	-1	0	1
$M_L$	-2	0	1
			0
	-1	1	2
	0	1	3
	1	1	2
	2	0	1
			0

← Es más corta porque solo quedan los que cumplen.

Vemos ahora los términos: (se van de más a menos en el orden de arriba)

$$^3D: S=1 \Rightarrow M_s = -1, 0, 1$$

$L=2 \Rightarrow M_L = -2, -1, 0, 1, 2$

$\Rightarrow$  Los no están todos, el  $^3D$  No es posible

$$^1D: S=0 \Rightarrow M_s = 0$$

$L=2 \Rightarrow M_L = -2, -1, 0, 1, 2$

$\Rightarrow$  Están todos,  $\Rightarrow$  lo que quita de la tabla

0	0	0
1	1	1
1	2	1
1	1	1
0	0	0

$$^3P: S=1 \Rightarrow M_s = -1, 0, 1$$

$L=1 \Rightarrow M_L = -1, 0, 1$

$\Rightarrow$  Están todos

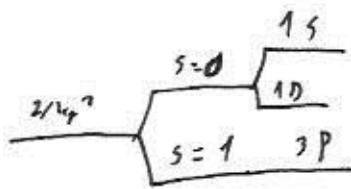
0	0	0
0	0	0
0	1	0
0	0	0
0	0	0

Solo quedan el  $^3$

Arriba los términos que quedan son:

$$1S \quad 3P \quad 1D$$

$j=1 \quad j=2 \quad j=5$



# Zimatek



• Ahora hay que añadir los términos magnéticos: el anaplanito spin-orbita; un término:

$$\mu_{so} = K \vec{L} \cdot \vec{s}$$

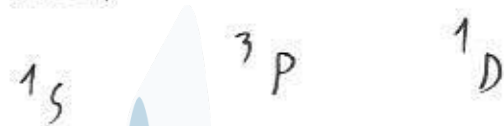
• De nuevo, trabajan con el vector angular total:  $|L-S| \leq J \leq L+S$

• Así, cada término espectroscópico se desdobla en diferentes  $J$  (casi todos ellos con degeneración)

$$2J+1$$

• A mayor  $J$ , mayor energía

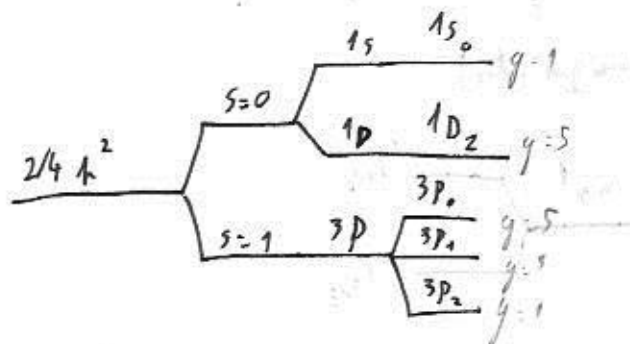
Ejemplo: C/Be. Términos



$1S \Rightarrow L=0 \Rightarrow J=0 \Rightarrow$  No hay desdoblamiento

$^3P \Rightarrow L=1 \Rightarrow J=0, 1, 2$

$^1D \Rightarrow L=2 \Rightarrow J=2$



Pregunto curioso: ¿ $\Delta m \neq 0$ ?

$\begin{pmatrix} 6 \\ 5 \end{pmatrix}$

$m_L$	0	1	$M_L$	$M_S$
↑↓	↑↓	↑	-1	$1/2$
↑↓	↑↓	↓	-1	$-1/2$
↑	↑↓	↑↓	1	$1/2$
↓	↑↓	↑↓	1	$-1/2$
↑↓	1	↑↓	0	$1/2$
↑↓	↓	↑↓	0	$-1/2$

$M_S$	$-1/2$	$1/2$
$M_L$	1	1
0	1	1
1	1	1

Si  $\ell_1 = \ell_2 = \ell_3 = \ell_4 = \ell_5 = 1 \Rightarrow L = 1, 2, 3, 4, 5$

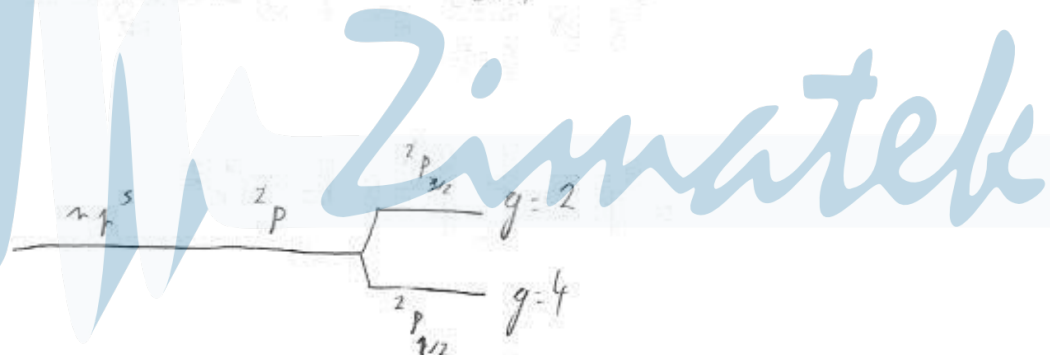
$$S = \frac{1}{2}, \frac{3}{2}, \frac{5}{2}$$

Leg. ent. tot.

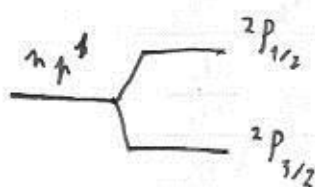
Sub. hund.  $\ell_{12} + \ell_{34}$

$\ell_5$

Veo que entre los niveles combinaciones que matchan  $^2P \rightarrow S = 1/2 \Rightarrow L = 1$



Tengui: cuento el hueco: una partícula ficticia de spin  $1/2 \Rightarrow n_f'$  con los mismos niveles ( $J$ , rayos ciegos; al revés que arriba)



si hay el nro n de e- y hueco, NO hay acoplamiento spin-angulo. Rayos ciegos diferentes. Todo tiene la misma energía

## RAYOS X

- Se generan en un tubo de rayos X: se aceleran contra un material que quiera estudiar (cátodo). Ocurran dos cosas:

- Se frenan: al frenar, irradian energía electromagnética. Este efecto es continuo en  $\lambda$  (dependiendo de si la aceleración es más o menos lenta).

$\exists \lambda_{\text{máx}}^{\downarrow}$  de los  $e^-$  que se frena de golpe y todo su energía cinética se transforma a electromagnética

- Avanzan  $e^-$  de la muestra: - generan fuentes de energía muy alta (pues los  $e^-$  que avanzan son de muy alta energía por ser  $2^{\circ}$  grados y R pequeño). En la diapositiva (fig. 9-17) visto la energía de este fuente.

- Con el átomo estás muy excitado, va a descaer  $\rightarrow$  el fuente descae a otra capa

$\downarrow$   
se obtienen mas líneas de  $\lambda$  definidas  
que dependen únicamente del material

- Las posibles transiciones deben cumplir:

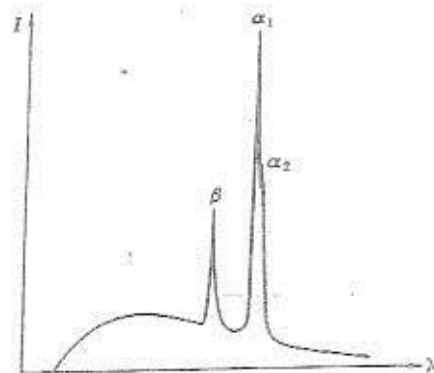
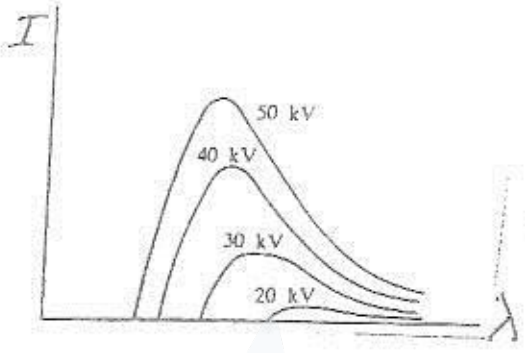
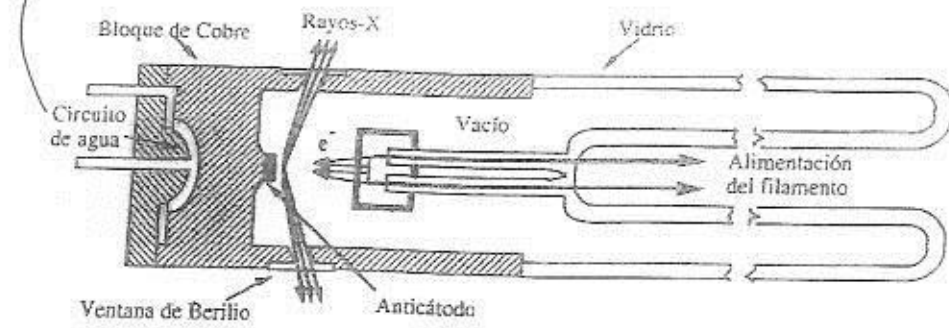
$$\Delta L = \pm 1$$
$$\Delta J = 0, \pm 1$$

- las líneas se denota  $\alpha, \beta, \dots$  a orden creciente de energía  
(en realidad son varias por  $ILC + 50$ )

(las capas externas son transición óptica,  $\Rightarrow$  se ven bajo un ángulo de desvío)

Zimatek

refrigerado (lateral y vertical)



	Cr	Fe	Cu	Mo
$Z$				
$\alpha_1, \text{ Å}$	24	26	29	42
$\alpha_2, \text{ Å}$	2.2896	1.9360	1.5405	0.70926
$\beta, \text{ Å}$	2.2935	1.9399	1.5443	0.71354
$\beta_1, \text{ Å}$	2.2909	1.9373	1.5418	0.71069
	2.0848	1.7563	1.3922	0.63225

Limatek

# Zimatek

100% RECYCLED  
PAPER  
PRINTED  
BY  
ZIMATEK

Niveles de rayos-x para un átomo de uranio

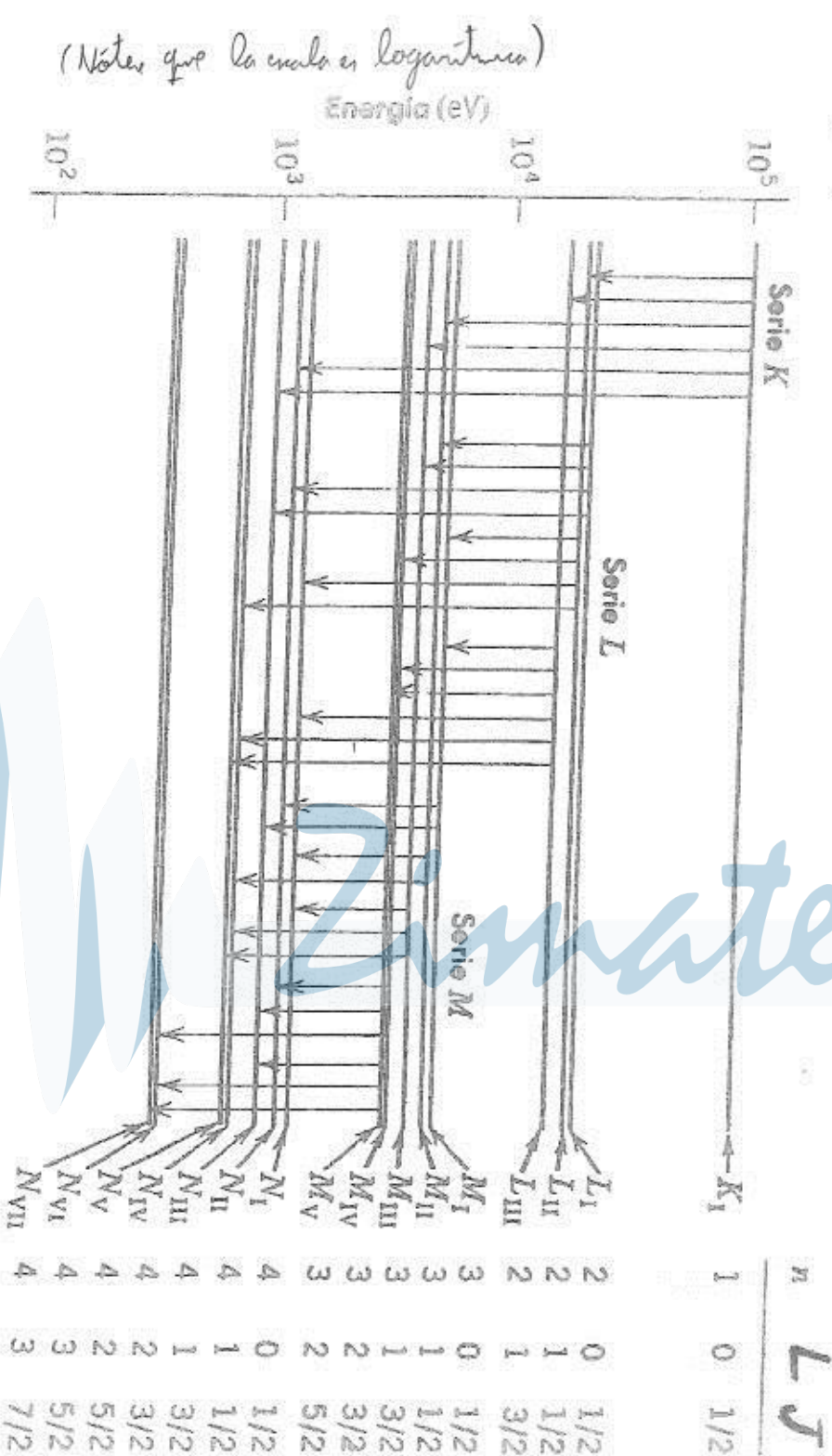


FIGURA 9-17

Niveles de alta energía de rayos-x para el átomo de uranio y transiciones que entre es-  
tos niveles permiten las reglas de selección.

# Zimatek



## Combinación Lineal de Orbitales Atómicos (CLOA (LCAO)): / un método variacional )

Supongamos que la molécula consiste en un electrón y un conjunto de nucleos. El método CLOA consiste en utilizar como base estados hidrogenoides del electrón en los diferentes núcleos. Tenemos así, en general:

$$|\psi_E^e\rangle = \sum C_i |\varphi_i\rangle, \quad (\text{se suman vectores y vectores}) \quad (4)$$

donde i denota diferentes núcleos y/o diferentes estados hidrogenoides en un dado núcleeo.  $C_i = C_i(R_\alpha)$ .

Para decidir cuales son los estados hidrogenoides que entran en la suma se tiene en cuenta fundamentalmente la simetría del problema. Así, por ejemplo, si la molécula consiste en dos átomos iguales entonces la línea que los une es un eje de revolución y el plano que intersecta dicho eje en el punto medio es un plano de reflexión. Los orbitales que entran en la suma deben ser tales que no se rompa esta simetría.  $\rightarrow$  debes para los niveles, en cada atomo Utilizamos esta  $|\psi_E^e\rangle$  como función de prueba y hacemos uso del método variacional para obtener  $E^e$ . Lo que hacemos es minimizar

$$E^e = \frac{\langle \psi_E^e | H^e | \psi_E^e \rangle}{\langle \psi_E^e | \psi_E^e \rangle} = \frac{\sum_{i,j} C_i^* C_j \langle \varphi_i | H^e | \varphi_j \rangle}{\sum_{i,j} C_i^* C_j \langle \varphi_i | \varphi_j \rangle} = \frac{\sum_{i,j} C_i^* C_j H_{ij}^e}{\sum_{i,j} C_i^* C_j S_{ij}} = \frac{N}{D}$$

con respecto a los coeficientes  $C_i$ :

$$\frac{\partial E^e}{\partial C_i^*} = \frac{\sum_j C_j H_{ij}^e D - \sum_j C_j S_{ij} N}{D^2} = \left[ \sum_j C_j H_{ij}^e - \sum_j C_j S_{ij} E^e \right] = 0$$

*$\delta_{ij}$  para  $i=j$ , y es cero  
de otro modo.*

de modo que para cada  $i$ ,

$$\boxed{\sum_j (H_{ij}^e - S_{ij} E^e) C_j = 0.} \quad (5)$$

Tenemos tantas ecuaciones como términos en la suma (4). La solución es no trivial si

$$|H_{ii}^e - S_{ii} E^e| = 0. \quad (6)$$

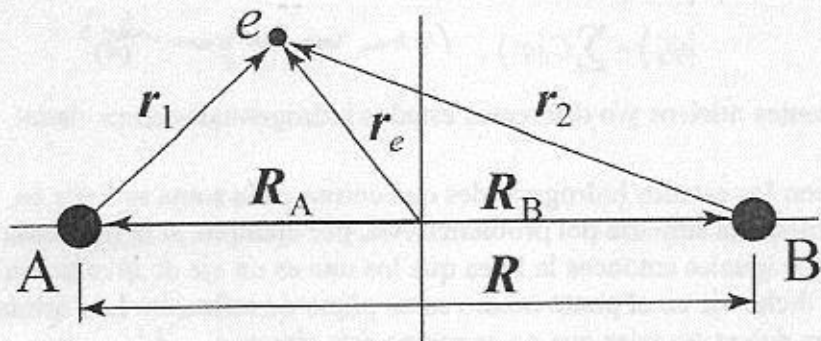
$S_{ij} = \langle \varphi_i | \varphi_j \rangle$  son las integrales de solapamiento.  $S_{ii} = 1 \quad \forall i$  y  $S_{ij} = 0$  si  $|\varphi_i\rangle$  y  $|\varphi_j\rangle$  son estados cuánticos de mismo núcleeo, puesto que constituyen base ortonormal.

$H_{ii}^e$  son las integrales de Coulomb, y  $H_{ij}^e$  con  $i \neq j$  son las integrales de resonancia.

Así obtenemos  $E^e$  y los coeficientes  $C_i$  que definen el estado monoelectrónico de la molécula.

### La molécula de $\text{H}_2^+$ :

Esta es la molécula más simple. Está constituida por dos protones y un electrón.



$$\begin{cases} \mathbf{r}_1 = \mathbf{r}_e - \mathbf{R}_A \\ \mathbf{r}_2 = \mathbf{r}_e - \mathbf{R}_B \\ \mathbf{R} = \mathbf{R}_B - \mathbf{R}_A \end{cases}$$

Incluimos en el hamiltoniano electrónico el término de repulsión entre los núcleos  $V_{nn}(R)$  para que los autovalores nos den directamente las energías potenciales moleculares. Tenemos así:

$$H^e = -\frac{\hbar^2}{2m} \nabla^2 - \frac{e^2}{4\pi\epsilon_0 r_1} - \frac{e^2}{4\pi\epsilon_0 r_2} + \frac{e^2}{4\pi\epsilon_0 R}$$

← No efect EN MDA por ser constante (sin los signos y tablas)

← no tiene energía potencial

← con  $r_1$  y  $r_2$  fijos,  $R$  es constante

← Notar que es el Hamiltoniano del ato de hidrógeno, conmuta con la simetría del sistema.

Función de prueba:  $|\psi_E^e\rangle = C_1 |\varphi_1\rangle + C_2 |\varphi_2\rangle$ , con

$$\begin{cases} \langle \mathbf{r} | \varphi_1 \rangle = \frac{1}{\sqrt{\pi a_0^3}} e^{-r/a_0} \\ \langle \mathbf{r} | \varphi_2 \rangle = \frac{1}{\sqrt{\pi a_0^3}} e^{-r/a_0} \cdot \frac{1}{\sqrt{2a_0^3}} e^{-|\vec{r}_1 - \vec{R}|/a_0} \end{cases}$$

Esta función de prueba se justifica por la simetría del problema y porque cerca del uno u otro núcleo el hamiltoniano es el del átomo de hidrógeno.

Es decir, cerca de A  $\frac{e^2}{r_1} \gg \frac{e^2}{r_2} - \frac{e^2}{R} \Rightarrow H^e = -\frac{\hbar^2}{2m} \nabla^2 - \frac{e^2}{4\pi\epsilon_0 r_1}$ .

Las expresiones (5) y (6) son para este problema

$$\begin{cases} (H_{11} - E)C_1 + (H_{12} - SE)C_2 = 0 \\ (H_{21} - SE)C_1 + (H_{22} - E)C_2 = 0 \end{cases} \quad (7)$$

## Introducción a la física molecular:

Consideramos un molécula formada por  $N_n$  núcleos y  $N_e$  electrones:

Energía cinética:  $T = T_e + T_n = -\frac{\hbar^2}{2m} \sum_i \nabla_i^2 - \sum_{\alpha} \frac{\hbar^2}{2M_{\alpha}} \nabla_{\alpha}^2$

Energía potencial:  $V = V_{ee} + V_{en} + V_{nn}$ ,

siendo:

$$\begin{cases} V_{ee} = \frac{1}{2} \sum_i \sum_j \frac{e^2}{4\pi\epsilon_0 |\mathbf{r}_i - \mathbf{r}_j|} \\ V_{en} = -\sum_i \sum_{\alpha} \frac{Z_{\alpha} e^2}{4\pi\epsilon_0 |\mathbf{r}_i - \mathbf{R}_{\alpha}|} \\ V_{nn} = \frac{1}{2} \sum_{\alpha} \sum_{\beta} \frac{Z_{\alpha} Z_{\beta} e^2}{4\pi\epsilon_0 |\mathbf{R}_{\alpha} - \mathbf{R}_{\beta}|} \end{cases}$$

letra grande: n\'ucleo  
 letras pequeñas: e-  
 \_\_\_\_\_  
 letra griega: n\'ucleo  
 letra latina: e-

Resulta así:

$$H(\mathbf{r}_i, \mathbf{R}_{\alpha}) = T_e(\mathbf{r}_i) + T_n(\mathbf{R}_{\alpha}) + V_{ee}(\mathbf{r}_i) + V_{en}(\mathbf{r}_i, \mathbf{R}_{\alpha}) + V_{nn}(\mathbf{R}_{\alpha}),$$

de modo que la ecuación de autovalores de H es

$$H(\mathbf{r}_i, \mathbf{R}_{\alpha}) \psi_E(\mathbf{r}_i, \mathbf{R}_{\alpha}) = E \psi_E(\mathbf{r}_i, \mathbf{R}_{\alpha}).$$

Esta ecuación no tiene solución analítica ni siquiera para la molécula de  $\text{H}_2^+$ , que es la más simple de todas.

### Aproximación adiabática (de Born Oppenheimer):

1.- Fijamos los n\'ucleos planteando así el hamiltoniano electrónico, donde  $\underline{\underline{\mathbf{R}_{\alpha}}}$  aparece como un conjunto de par\'ametros:

$$H^e(\mathbf{r}_i, \underline{\underline{\mathbf{R}_{\alpha}}}) = T_e(\mathbf{r}_i) + V_{ee}(\mathbf{r}_i) + V_{en}(\mathbf{r}_i, \underline{\underline{\mathbf{R}_{\alpha}}})$$

Resolvemos la ecuación de autovalores para este hamiltoniano:

$$H^e(\mathbf{r}_i, \underline{\underline{\mathbf{R}_{\alpha}}}) \psi_E^e(\mathbf{r}_i, \underline{\underline{\mathbf{R}_{\alpha}}}) = E^e(\underline{\underline{\mathbf{R}_{\alpha}}}) \psi_E^e(\mathbf{r}_i, \underline{\underline{\mathbf{R}_{\alpha}}}) \quad (1)$$

El sub\'indice  $E$  denota los diferentes autovalores y autofunciones de  $H^e$ . Cada uno de ellos cambia si cambiamos uno o m\'as par\'ametros  $\underline{\underline{\mathbf{R}_{\alpha}}}$ .

Al variar  $R_\alpha$  variamos el autovalor  $E^e(R_\alpha)$ , lo que significa que estamos realizando trabajo. Esto quiere decir que  $E^e(R_\alpha)$  contribuye a la energía potencial de los nucleos *y de todo lo demás*.

2.- Con un dado autovalor  $E^e(R_\alpha)$  construimos el hamiltoniano nuclear:

$$H^n(R_\alpha) = T_n(R_\alpha) + \underbrace{V_{nn}(R_\alpha)}_{\text{Energía potencial nuclear}} + E^e(R_\alpha)$$

La suma  $V_{nn}(R_\alpha) + E^e(R_\alpha)$ , al representarse en función de las coordenadas  $R_\alpha$  nos da la energía potencial molecular. Si ésta presenta mínimos, entonces la molécula es estable.

El término  $E^e(R_\alpha)$  en  $H^n(R_\alpha)$  significa que los núcleos evolucionan influenciados por la nube electrónica, si bien durante el movimiento nuclear no hay transiciones electrónicas en el sentido que el autovalor de  $H^e$  no cambia. Por eso se denomina aproximación adiabática. No se intercambia energía entre electrones y núcleos. Los núcleos no se separan infinitamente debido a su repulsión mutua porque están "sujetos" por la nube electrónica.

### Resolución de la ecuación electrónica:

Vamos a ver como planteamos la solución del hamiltoniano electrónico. Expresamos (1) en la forma

$$H^e |\psi_E^e\rangle = E^e |\psi_E^e\rangle \quad (2)$$

Siempre podemos expresar  $|\psi_E^e\rangle$  como combinación lineal de una base completa  $\{|\varphi_i\rangle\}$ :

$$|\psi_E^e\rangle = \sum_{i=1}^{\infty} C_i |\varphi_i\rangle, \text{ de modo que de la ecuación de autovalores (2) resulta}$$

$$H^e \sum_{j=1}^{\infty} |\varphi_j\rangle \langle \varphi_j | \psi_E^e \rangle = E^e |\psi_E^e\rangle \Rightarrow \sum_{j=1}^{\infty} H^e |\varphi_j\rangle C_j = E^e |\psi_E^e\rangle$$

Premultiplicando por  $\langle \varphi_i |$  obtenemos  $\sum_{j=1}^{\infty} \langle \varphi_i | H^e | \varphi_j \rangle C_j = E^e C_i$ , es decir:

$$\sum_{j=1}^{\infty} H_{ij}^e C_j = E^e C_i \quad (3)$$

Resolviendo el sistema obtenemos las energías y autofunciones de  $H^e$ .

Problema: Resulta una matriz  $H_{ij}^e$  de dimensión infinita.

Debemos buscar una base finita que permita una buena aproximación al problema, es decir,  $|\psi_E^e\rangle = \sum_{i=1}^N C_i |\varphi_i\rangle$  con  $N$  lo más pequeño posible. Tendríamos ahora un sistema homogéneo de  $N$  ecuaciones.

$$\begin{vmatrix} H_{11} - E & H_{12} - SE \\ H_{21} - SE & H_{22} - E \end{vmatrix} = 0 \quad (8)$$

donde  $S_{12} = S_{21} = S$  y  $\begin{cases} H_{12} = H_{21} = \left(-E_0 + \frac{e^2}{4\pi\epsilon_0 R}\right)S - A \\ H_{11} = H_{22} = -E_0 + \frac{e^2}{4\pi\epsilon_0 R} - B \end{cases}$

siendo  $\begin{cases} S = \langle \varphi_1 | \varphi_2 \rangle = \frac{1}{\pi a_0^3} \int e^{-r_1/a_0} e^{-|r_1-R|/a_0} dr_1 \\ A = \frac{e^2}{4\pi\epsilon_0} \left\langle \varphi_1 \left| \frac{1}{r_1} \right| \varphi_2 \right\rangle = \frac{e^2}{4\pi\epsilon_0 a_0} \left[ 1 + \frac{R}{a_0} \right] e^{-R/a_0} \\ B = \frac{e^2}{4\pi\epsilon_0} \left\langle \varphi_1 \left| \frac{1}{r_2} \right| \varphi_1 \right\rangle = \frac{e^2}{4\pi\epsilon_0 R} \frac{1}{a_0} \left[ 1 - e^{-2R/a_0} \left( \frac{R}{a_0} + 1 \right) \right] \\ E_0 = 13.6 \text{ eV} \end{cases}$  (ver Apéndice I)

de modo que  $H_{11} = H_{22} = -E_0 + \frac{e^2}{4\pi\epsilon_0 R} e^{-2R/a_0} \left( \frac{R}{a_0} + 1 \right)$ . Puede verse que  $H_{11}$  (y  $H_{22}$ ) se aproximan a la energía del átomo aislado ( $-E_0$ ) si los núcleos se alejan. Así mismo, bajo estas condiciones  $H_{12} = H_{21} \approx 0$  puesto que  $S \approx 0$  y  $A \approx 0$ .

A partir de (8) obtenemos dos soluciones:

$$\begin{cases} E_p = \frac{H_{11} + H_{12}}{1 + S} \\ E_i = \frac{H_{11} - H_{12}}{1 - S} \end{cases} \quad (9)$$

Reemplazando  $E_p$  en la expresión (7) resulta  $C_1 = C_2$ , de modo que el estado cuántico correspondiente es

$$|\psi_{E,p}^e\rangle = C [|\varphi_1\rangle + |\varphi_2\rangle] \quad C \neq \frac{1}{\sqrt{2}} \text{ ya que } |\varphi_1\rangle \text{ orthogonal a } |\varphi_2\rangle$$

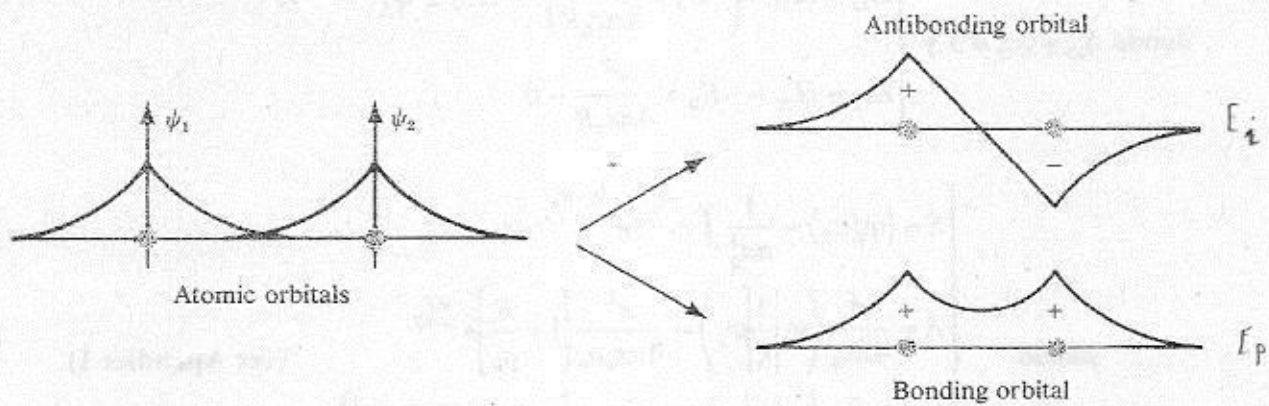
Normalizamos  $\langle \psi_{E,p}^e | \psi_{E,p}^e \rangle = C^2 [1 + 1 + 2S] = 1$ , con lo cual

$$|\psi_{E,p}^e\rangle = \frac{1}{\sqrt{2(1+S)}} [|\varphi_1\rangle + |\varphi_2\rangle]. \quad (10)$$

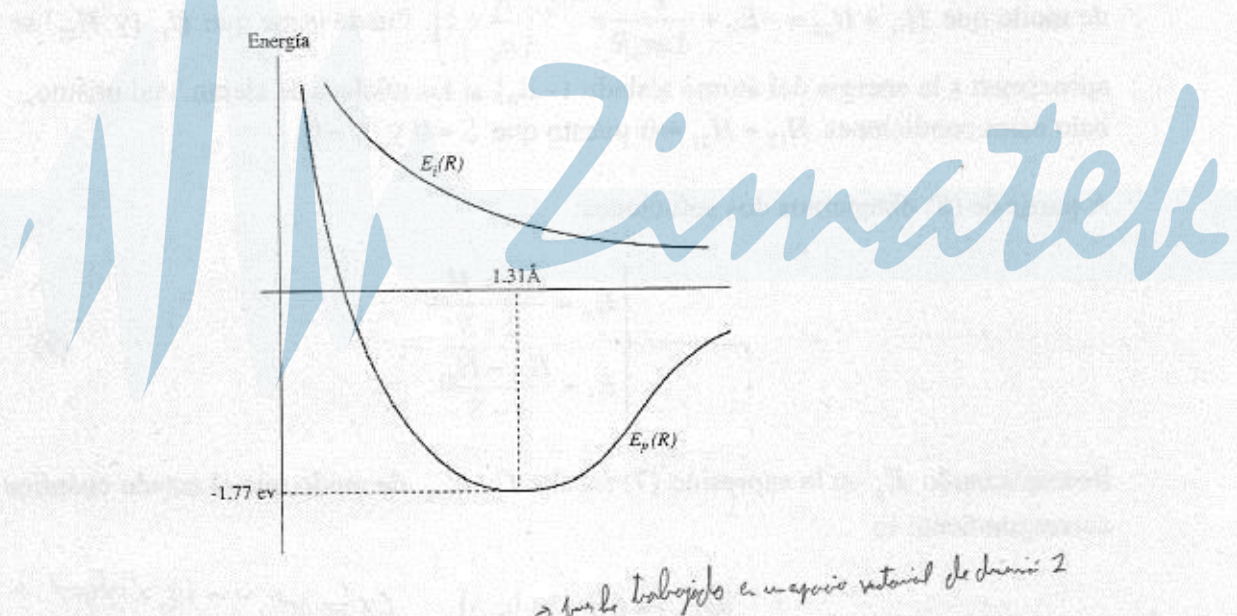
Si reemplazamos  $E_i$  en (7) resulta  $C_1 = -C_2$ , y el estado cuántico es

$$|\psi_{E,i}^e\rangle = \frac{1}{\sqrt{2(1-S)}} [|\varphi_1\rangle - |\varphi_2\rangle] . \quad (11)$$

La representación gráfica de las correspondientes funciones de onda es la siguiente:



Mientras que las energías  $E_p$  y  $E_i$ , representadas en función de  $R$  resultan:

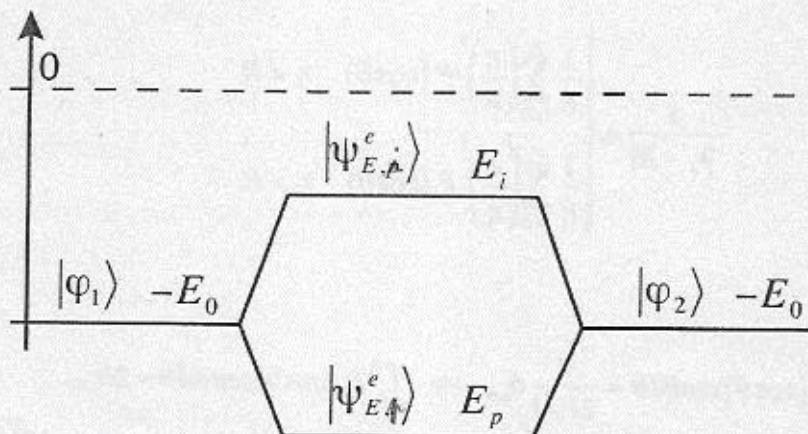


*para los trabajos en un espacio virtual de dominio 2*  
El número de estados lógicamente no cambia. Partimos de dos estados hidrogenoides  $|\varphi_1\rangle$  y  $|\varphi_2\rangle$  y llegamos a otros dos estados  $|\psi_{E,p}^e\rangle$  y  $|\psi_{E,i}^e\rangle$ .

El estado impar es inestable. Los núcleos se alejan indefinidamente. Además, para este estado la probabilidad de encontrar al electrón entre ambos protones es muy pequeña, de modo que no existe prácticamente apantallamiento.

Por otro lado, la energía de interacción protón – protón para el estado par presenta un mínimo que corresponde a una distancia de equilibrio. El electrón puede encontrarse con bastante probabilidad entre ambos protones, con lo cual el apantallamiento es importante. La nube electrónica “abraza” a ambos protones e impide que abandonen la

molécula. La función de onda  $\langle r | \psi_{E,p}^e \rangle$  correspondiente al nivel de menor energía se denomina orbital enlazante (bonding orbital), y la que corresponde al nivel inestable,  $\langle r | \psi_{E,i}^e \rangle$  se denomina orbital antienlazante (antibonding orbital). La siguiente figura representa el *diagrama de niveles de energía orbital molecular*:



La ocupación por parte del electrón del nivel enlazante baja la energía de la molécula y mantiene a los núcleos a la distancia de equilibrio. En cambio, cuando el nivel antienlazante es ocupado la energía aumenta y los núcleos tienden a alejarse. Puede verse que el diagrama no es simétrico en el sentido que el sistema es más antienlazante que enlazante, lo cual se debe a la repulsión entre núcleos, que aumenta la energía en ambas situaciones.

Desde el punto de vista experimental, la separación observada es 1.06 Å y la energía de enlace -2.80 eV. Estos valores no concuerdan con el obtenido en el presente cálculo. La razón es que la función de prueba elegida no corresponde a la del  $H_e^+$  cuando  $R \rightarrow 0$ . Podemos sin embargo introducir una carga efectiva en el núcleo modificando así la función de prueba. En efecto, si la carga nuclear es  $1.228e$  se obtiene  $R_{eq} = 1.06\text{Å}$  y  $E_{min} = -2.25\text{eV}$ .

*(Si la distancia es 0, el enlace tiene el límite)*

## Apéndice I:

Para el cálculo de  $\left\langle \varphi_1 \left| \frac{1}{r_2} \right| \varphi_1 \right\rangle = \frac{1}{\pi a_0^3} \int e^{-r_1/a_0} \frac{1}{|r_1 - R|} e^{-r_1/a_0} dr_1$  recordamos que:

$$\frac{1}{|r_1 - R|} = \begin{cases} \frac{1}{R} \sum_{l=0}^{\infty} \left( \frac{r_1}{R} \right)^l P_l(\cos \theta) & r_1 < R \\ \frac{1}{r_1} \sum_{l=0}^{\infty} \left( \frac{R}{r_1} \right)^l P_l(\cos \theta) & r_1 > R \end{cases}$$

y que además

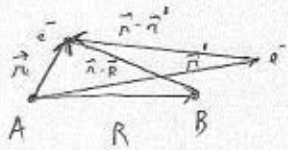
$$\int_0^\pi P_l(\cos \theta) P_m(\cos \theta) \sin \theta d\theta = \frac{2}{2l+1} \delta_{l,m} \Rightarrow \int_0^\pi P_l(\cos \theta) \sin \theta d\theta = 2\delta_{l,0}.$$

Tenemos entonces

$$\begin{aligned} \left\langle \varphi_1 \left| \frac{1}{r_2} \right| \varphi_1 \right\rangle &= \frac{1}{\pi a_0^3} \int_0^{2\pi} \int_0^\pi \int_0^R e^{-2r_1/a_0} \frac{1}{R} r_1^2 \sin \theta dr_1 d\theta d\varphi + \frac{1}{\pi a_0^3} \int_0^{2\pi} \int_0^\pi \int_R^\infty e^{-2r_1/a_0} \frac{1}{r_1} r_1^2 \sin \theta dr_1 d\theta d\varphi = \\ &= \frac{4}{Ra_0^3} \int_0^R e^{-2r_1/a_0} r_1^2 dr_1 + \frac{4}{a_0^3} \int_R^\infty e^{-2r_1/a_0} r_1 dr_1 = \frac{1}{R} \left[ 1 - e^{-2R/a_0} \left( \frac{R}{a_0} + 1 \right) \right] \end{aligned}$$

Por otro lado, teniendo en cuenta la relación entre  $r_1$ ,  $r_2$ ,  $r_e$ ,  $R$ ,  $R_A$ , y  $R_B$  resulta

$$\begin{aligned} A &= \frac{e^2}{4\pi\epsilon_0} \left\langle \varphi_1 \left| \frac{1}{r_1} \right| \varphi_2 \right\rangle = \frac{e^2}{4\pi\epsilon_0} \frac{1}{\pi a_0^3} \int e^{-r_1/a_0} \frac{1}{r_1} e^{-|r_1-R|/a_0} dr_1 = \frac{e^2}{4\pi\epsilon_0} \frac{1}{\pi a_0^3} \int e^{-|r_e-R_A|/a_0} \frac{1}{|r_e+R_A|} e^{-|r_e+R_A|/a_0} dr_e = \\ &= \frac{e^2}{4\pi\epsilon_0 a_0} \left[ 1 + \frac{R}{a_0} \right] e^{-R/a_0} \end{aligned}$$



### La molécula de $\text{H}_2$ :

Para moléculas con más de un electrón, consideraremos el hamiltoniano de un solo electrón en el que añadimos la interacción electrón – electrón. Luego utilizaremos el método LCAO en su forma más simple para obtener aproximadamente los niveles monoelectrónicos que iremos ocupando con todos los electrones. Tenemos así:

Energía de un electrón

$$H^e = -\frac{\hbar^2}{2m} \nabla^2 - \frac{e^2}{4\pi\epsilon_0 r} - \frac{e^2}{4\pi\epsilon_0 |\mathbf{r} - \mathbf{R}|} + V_{ee}(\mathbf{r}) \quad \text{con} \quad V_{ee}(\mathbf{r}) = \frac{e^2}{4\pi\epsilon_0} \int \frac{|\psi(\mathbf{r}')|^2}{|\mathbf{r} - \mathbf{r}'|} d\mathbf{r}', \rightarrow \text{Un método de Hartree}$$

siendo  $\psi(\mathbf{r}')$  la función de onda del otro electrón en la molécula y, como antes,  $|\psi_E\rangle = C_1|\varphi_1\rangle + C_2|\varphi_2\rangle$  de modo que, como antes, llegamos a que

$$\begin{cases} (H_{11} - E)C_1 + (H_{12} - SE)C_2 = 0 \\ (H_{21} - SE)C_1 + (H_{22} - E)C_2 = 0 \end{cases}$$

donde ahora los valores de  $H_{ij}$  son diferentes. En efecto, en este caso

$$H_{11} = H_{22} = -E_0 + \langle \varphi_1 | -\frac{e^2}{4\pi\epsilon_0 |\mathbf{r} - \mathbf{R}|} + V_{ee}(\mathbf{r}) | \varphi_1 \rangle \approx -E_0,$$

puesto que es de esperar que el término repulsivo  $\int \psi^*(\mathbf{r})V_{ee}(\mathbf{r})\psi(\mathbf{r})d\mathbf{r}$  no sea muy

diferente del atractivo  $-\frac{e^2}{4\pi\epsilon_0} \int \frac{\psi^*(\mathbf{r})\psi(\mathbf{r})}{|\mathbf{r} - \mathbf{R}|} d\mathbf{r}$ . Por otro lado llamamos   
 Las órbitas son  $1_s$ , las distan  $e^- - e^-$  much. y se van   
(se van, que se pierde)

$$U = H_{12} = H_{21} = -E_0 S + \langle \varphi_1 | -\frac{e^2}{4\pi\epsilon_0 |\mathbf{r} - \mathbf{R}|} + V_{ee}(\mathbf{r}) | \varphi_2 \rangle. \text{ (en tipo } \varphi_2 \text{ y } \varphi_1 \text{ se le pone en la}$$

$\rightarrow$  integración doble

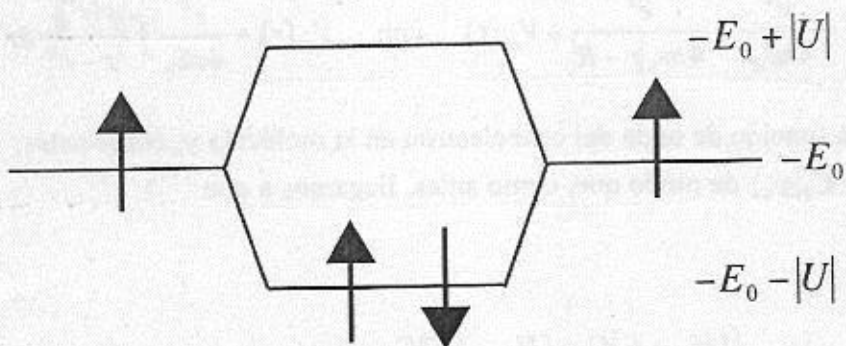
$U < 0$  y aumenta al aumentar la separación entre núcleos. Las expresiones equivalentes a (9) son ahora

$$\begin{cases} E_p = \frac{H_{11} + H_{12}}{1+S} \approx -E_0 - |U| & y \quad \frac{C_1}{C_2} = 1 \Rightarrow \psi_p = \frac{\varphi_1 + \varphi_2}{\sqrt{2}} \\ E_i = \frac{H_{11} - H_{12}}{1-S} \approx -E_0 + |U| & y \quad \frac{C_1}{C_2} = -1 \Rightarrow \psi_i = \frac{\varphi_1 - \varphi_2}{\sqrt{2}} \end{cases}$$

donde se ha despreciado  $S$  frente a 1. Si incluimos en el hamiltoniano la energía de repulsión entre núcleos  $\frac{e^2}{4\pi\epsilon_0 R}$  resulta que  $E_p$  presenta un mínimo como en la molécula de  $\text{H}_2^+$ . La suma de las energías de los dos átomos aislados es  $-2E_0$ . En la molécula de

$H_2$  los dos electrones ocupan el nivel más bajo, con energía  $-2E_0 - 2|U|$ , la cual es más favorable energéticamente. Por eso se forma la molécula de  $H_2$ . El estado cuántico de los dos electrones será  $\psi_p(1)\psi_p(2)[|+ -\rangle - |- +\rangle]$  debidamente normalizado.

Esquemáticamente esto es:



# MOLECULAS

(Hojas)

## MOLECULA DE LiH

· Energía para cada  $e^-$ :  $\rightarrow E_{\text{Li}} \text{ de cada átomo - en el atomo H}$

$$\psi(\vec{r}) = a\phi_u(\vec{r}) + b\phi_{u^*}(\vec{r})$$

$b$  Energía de cada enlace es el doble del

$$\begin{cases} (H_{uu} - E)a + (H_{uu^*} - S E)b = 0 \\ (H_{u^*u^*} - SE)a + (H_{u^*u^*} - E)b = 0 \end{cases}$$

· Asumir:

$$S \approx 0$$

$$H_{uu} \approx E_u$$

$$H_{u^*u^*} \approx E_{u^*}$$

$$H_{uu^*} = H_{u^*u} \equiv V < 0 \quad (\text{lo contrario favorece la estabilidad})$$

y enlazar!

· Y quedó:

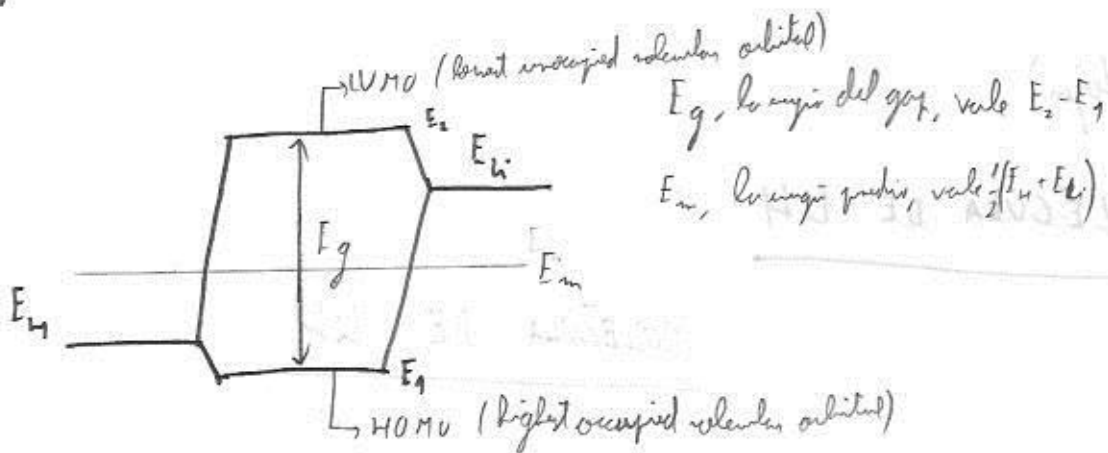
$$\begin{cases} a(E_u - E) + bV = 0 \\ aV + b(E_{u^*} - E) = 0 \end{cases}; \quad \begin{vmatrix} E_u - E & V \\ V & E_{u^*} - E \end{vmatrix} = 0$$

(...)

$$E_1 = \frac{E_u + E_{u^*}}{2} - \sqrt{\left(\frac{E_u - E_{u^*}}{2}\right)^2 + V^2}$$

$$E_2 = \frac{E_u + E_{u^*}}{2} + \sqrt{\left(\frac{E_u - E_{u^*}}{2}\right)^2 + V^2}$$

el diagrama de enrgí orbital molecular queda:



$$\text{Si llvo } \Delta^2 = (E_m - E_n)^2 :$$

$$E_1 = E_m - \frac{1}{2} \sqrt{\Delta^2 + (2V)^2}$$

$$E_2 = E_m + \frac{1}{2} \sqrt{\Delta^2 + (2V)^2}$$

$$E_g = \sqrt{\Delta^2 + (2V)^2} \Rightarrow 1 = \frac{\Delta^2}{E_g^2} + \frac{(2V)^2}{E_g^2}$$

$\alpha_p^2$        $\alpha_c^2$

↓ bonding

$$\alpha_p = \frac{\Delta}{\sqrt{\Delta^2 + (2V)^2}}$$

↓ bonding

$$\alpha_c = \frac{2V}{\sqrt{\Delta^2 + (2V)^2}}$$

Vamos a buscar el estado cuántico:

$$a(E_m - E) + bV = 0 = a(E_m - E) - b|V|$$

$$\frac{a}{b} = \frac{|V|}{E_m - E}$$

sustituyendo  $E_1$  o  $E_2$ , obtendremos otro estado cuántico:

- Fundamental:

$$E_H - E_1 = E_H - E_2 + \frac{1}{2} \sqrt{\Delta^2 + (2U)^2} = E_H - \frac{E_H + E_L}{2} + \frac{1}{2} \sqrt{\Delta^2 + (2U)^2} =$$

$$= \frac{E_H - E_L}{2} + \frac{1}{2} \sqrt{\Delta^2 + (2U)^2} = -\frac{|\Delta|}{2} + \frac{1}{2} \sqrt{\Delta^2 + (2U)^2}$$

an:

$$\frac{a}{l} = \frac{|U|}{-\frac{|\Delta|}{2} + \frac{1}{2} \sqrt{\Delta^2 + (2U)^2}} = \frac{\frac{2|U|}{\sqrt{\Delta^2 + (2U)^2}}}{-\frac{|\Delta|}{\sqrt{\Delta^2 + (2U)^2}} + 1} = \frac{|U|}{1 - \alpha_p}$$

no queremos que sólo aparezca  $\alpha_p$ :

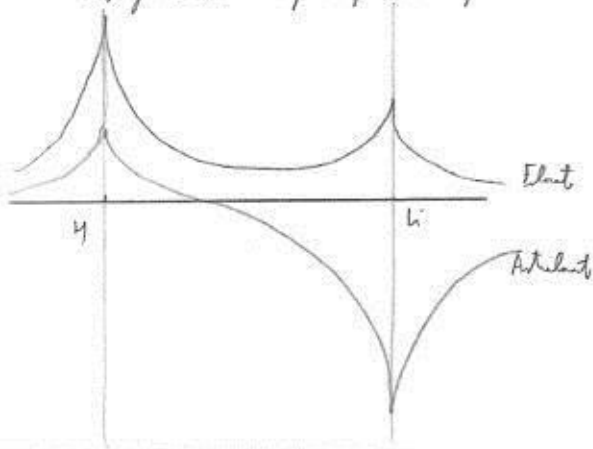
$$\frac{a^2}{l^2} = \frac{\alpha_p^2}{(1 - \alpha_p)^2} = \frac{1 - \alpha_p^2}{(1 - \alpha_p)^2} = \frac{(1 - \alpha_p)(1 + \alpha_p)}{(1 - \alpha_p)^2} = \frac{1 + \alpha_p}{1 - \alpha_p}$$

$$\Psi = C \left[ \sqrt{1 + \alpha_p} \phi_H + \sqrt{1 - \alpha_p} \phi_L \right]$$

tenemos de nuevo el resultado,  $C^2 [1 + \alpha_p + 1 - \alpha_p] = 1 \Rightarrow C = \frac{1}{\sqrt{2}}$

$$\Psi = \sqrt{\frac{1 + \alpha_p}{2}} \phi_H + \sqrt{\frac{1 - \alpha_p}{2}} \phi_L \Rightarrow$$

Esto ya NO es simétrico (el hidrógeno quedó sin conjugado que el litio  $\Rightarrow$  el litio es más desfavorable para su ocupación)



- Anticorrelado:

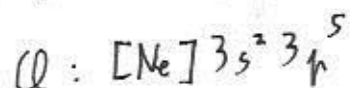
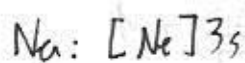
$$\Psi = \sqrt{\frac{1 - \alpha_p}{2}} \phi_H - \sqrt{\frac{1 + \alpha_p}{2}} \phi_L$$

• b) si el  $H_2$ ,  $\alpha_p = 0$  para  $\Delta = 0$

• Si los íones son el mismo,  $\alpha_p = 0 \Rightarrow \alpha_c = 1 \Rightarrow$  El color se dice puramente covalente.

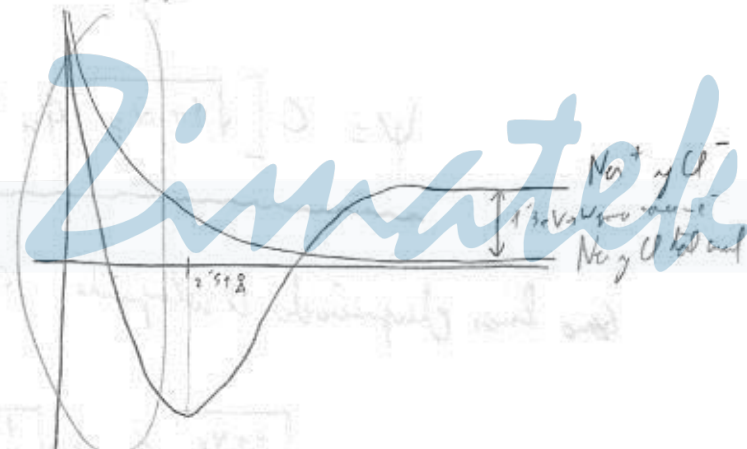
• En general, el paso de covalencia a polaridad es un proceso continuo. (se van a ver más tarde)

El otro extremo es, por ejemplo, el  $\text{NaCl}$ ,  $\alpha_p \approx 1$  y  $\alpha_c \approx 0 \Rightarrow$  el color iónico



Experiencia, donde  $\vec{p} \cdot p = 3 \cdot 10^{-29} \text{ C} \cdot \text{m}$

Si unió del  $\text{Na}$  para totalizar el  $\text{Cl}$ ,  $p = 4 \cdot 10^{-29} \text{ C} \cdot \text{m} \Rightarrow$  la unión el color iónico es bastante real

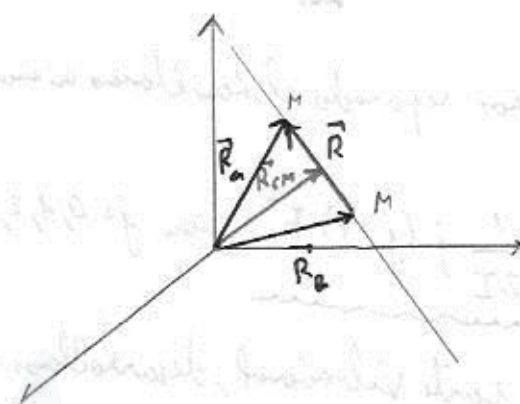


# EL PROBLEMA NUCLEAR

• Estudiamos la evolución de los nucleos:

$$H^m = T_n(\vec{R}_n) + V_{nn}(\vec{R}_n) + E^e(\vec{R}_e)$$

$$H^m \psi_n(\vec{R}_n) = E_n \psi_n(\vec{R}_n)$$



(sistema nuclear igual. En su defecto el potencial es bidimensional)

$$V_{nn} = \frac{Z^2 e^2}{4\pi\epsilon_0 R}$$

trabajando en coordenadas de C.M. y posición relativa:

$$\begin{aligned} H^m &= -\frac{\hbar^2}{2M} \left[ \frac{1}{2} \nabla_{CM}^2 + \nabla^2 \right] + \frac{Z^2 e^2}{4\pi\epsilon_0 R} + E^e(R) \\ &= -\frac{\hbar^2}{2(2m)} \nabla_{CM}^2 - \frac{\hbar^2}{2(\frac{m}{2})} \nabla^2 + \frac{Z^2 e^2}{4\pi\epsilon_0 R} + E^e(R) = H_{CM} + H_{rel} \end{aligned}$$

El término del CM no nos interesa. Mantendremos constante, vibrando... la molécula, no con suave.

Si no estás en el CM,  $H_{CM}$  desaparece y quedas en hamiltoniano puramente relativo:

$$H_{rel} = -\frac{\hbar^2}{2(\frac{m}{2})} \nabla^2 + \frac{Z^2 e^2}{4\pi\epsilon_0 R} + E^e(R)$$

escribiendo  $\nabla^2$  en esferas:  $\nabla^2 = \frac{1}{R^2} \frac{\partial}{\partial R} \left( R^2 \frac{\partial}{\partial R} \right) - \frac{1}{R^2} \frac{L^2}{\hbar^2}$

$$T_{rel} = -\frac{\hbar^2}{2(\frac{m}{2})} \frac{1}{R^2} \frac{\partial}{\partial R} \left( R^2 \frac{\partial}{\partial R} \right) + \frac{L^2}{MR^2}$$

en el caso  $\frac{L^2}{MR^2} \approx \frac{L^2}{MR_0^2} = \frac{L^2}{2I}$ ; por lo que podemos escribir:

Límites de equilibrio

$$H_{\text{rel}}^n = T_{\text{rot}}^n + \underbrace{\frac{Z^2 e^2}{4\pi\epsilon R} + E^e(R)}_{H_{\text{vib}}} + \underbrace{\frac{L^2}{2I}}_{H_{\text{rot}}^n}$$

an, haciendo  $\frac{1}{R^2} \approx \frac{1}{R_0^2}$ , hemos separado el hamiltoniano en una parte vibracional y otra rotacional:

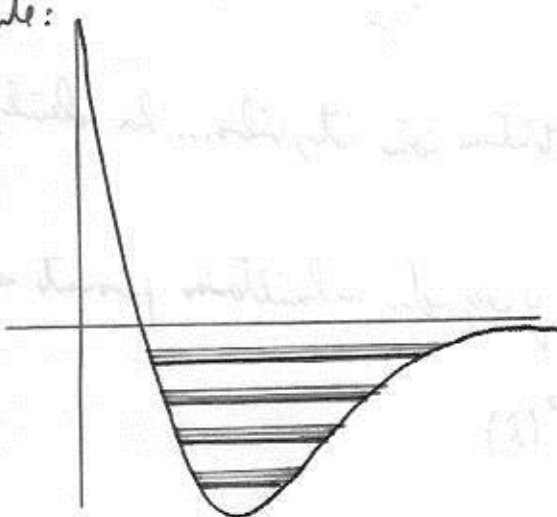
$$E_j^{\text{rot}} = \frac{1}{2I} j(j+1) \hbar^2 ; \text{ con } j=0,1,2,\dots$$

Para la parte vibracional, desarrollamos en serie alrededor de  $R_0$ :

$$\frac{Z^2 e^2}{4\pi\epsilon R} + E^e(R) = \frac{Z^2 e^2}{4\pi\epsilon R_0} + E^e(R_0) + \frac{1}{2} K(R-R_0)^2 \quad (\text{only terms 1^st order in deviations})$$

$$E_{\nu}^{\text{vib}} = \frac{Z^2 e^2}{4\pi\epsilon R_0} + E^e(R_0) + \left(\nu + \frac{1}{2}\right) \hbar w \quad (w = \sqrt{\frac{K}{M/2}})$$

gráficamente:



donde las diferencias entre niveles vibracionales (separación) son mucho mayores que entre rotacionales (microscópicas)

INTRODUCCIÓN A LA  
TEORÍA DE BANDAS

(modelo de Tight Binding  $\Rightarrow$  Bloch)

- Consideremos una cadena de  $N$  átomos iguales separados por una distancia  $a$ . Necesitamos resolver:

$$\sum_{j=1}^N (H_{ij} - \epsilon_{ij} E) C_j = 0$$

donde le pongo un orbital por átomo

- Si despreciamos el solapamiento ( $S_{ij} = \delta_{ij}$ ) tengo una ecuación de autovalores. Es más, consideremos  $H_{ij} \neq 0$  sólo para primos vecinos ( $j = i \pm 1$ ) y utilizamos C. C. periódicas (para introducir una simetría que simplifica el problema pues no tiene la propiedad invariante del círculo)
- Es decir, sección de cristal continua periódicamente. (donde los cristales elijo  $N$ )

Estas C.C. se llaman de Born - Von Karman.

La idea es que los núclos  $1$  y  $N$  no tienen nada de especial, tiene también vecinos.

- Datos:  $H_{ii} = \alpha$
- $H_{i,i+1} = H_{i-1,i} = \beta (< 0)$

Hay que tanto que diagonalizan:

$$\begin{pmatrix} \alpha & \beta & 0 & 0 & \cdots \\ \beta & \alpha & \beta & 0 & \cdots \\ 0 & \beta & \alpha & \beta & \cdots \\ \vdots & \vdots & \vdots & \ddots & \ddots \end{pmatrix}$$

una matriz  $N \times N$  (pues hay  $N$  átomos, y considero un operador)

Una vez diagonalice,

$$\Psi = \sum_i C_i \varphi_i(x_i)$$

con  $\varphi_i(x_i) = \varphi(x_i - i\alpha)$ ; con  $\alpha$  la distancia interatómica

### INCISO MATEMÁTICO: DIAGONALIZACIÓN DE UNA MATRIZ TRIDIAGONAL

Hay que resolver:

$$\lambda v_p = \beta v_{p-1} + \alpha v_p + \beta v_{p+1} \quad \forall p$$

↓

$$\left(\frac{\lambda - \alpha}{\beta}\right) v_p = v_{p-1} + v_{p+1}$$

La solución a estos  $v_p = e^{ip\phi}$ . Vamos hallar  $\phi$ :

$$e^{i(p-1)\phi} + e^{i(p+1)\phi} = e^{ip\phi} \cdot 2 \cos \phi = \frac{\lambda - \alpha}{\beta} e^{ip\phi}$$

$$\lambda = \alpha + 2\beta \cos \phi$$

así, para cada autovalor  $\lambda$ , tengo un valor de  $\phi$  y un autovector de la forma  $e^{ip\phi}$ .

$$\text{Por tanto, } \psi = \sum_{\gamma=1}^N v_\gamma \psi(x-\gamma a) = \sum_{\gamma=1}^N e^{i\gamma k a} \psi(x-\gamma a)$$

$$E = \alpha + 2\beta \cos k$$

· Sin pérdida de generalidad,  $\psi \equiv \psi_0$  ( $[k] = L^{-1}$ )

↓

$$E_k = \alpha + 2\beta \cos ka$$

$$\psi_k = \sum_{\gamma} e^{i\gamma k a} \psi(x-\gamma a)$$

· El problema: debería tener  $N$  energías y  $N$  estados cuánticos; pero  $k$  puede a priori tener cualquier cosa!!

·  $k$  se fija a partir de las C.C. periódicas:

$$\psi_k(x+Na) = \psi_k(x)$$

$$\psi_k(x+Na) = \sum_{\gamma} e^{i\gamma k a} \psi(x+Na-\gamma a) =$$

$$= e^{iNka} \sum_{\gamma} e^{i(\gamma-N)ka} \psi(x-(\gamma-N)a)$$

$$\psi_k(x+Na) = e^{iNka} \psi_k(x) \Leftrightarrow e^{iNka} = 1 \Rightarrow kNa = 2m\pi$$

$$e^{iNka} \sum_{\gamma} e^{i\gamma ka} \psi(x-\gamma a)$$

$$k = \frac{m}{N} \frac{2\pi}{a}$$

( $m$ : Número,  $k$ : número entero)

· Aunque a priori puede parecer que los  $m \in \mathbb{Z}$  tienen infinitos valores de  $k$ , la periodicidad en  $k$  de las fórmulas  $E_k$  y  $\psi_k$  hace que  $\psi_{k+n} = \psi_k$ ;  $E_{k+n} = E_k$ .

• Nonolite se mantiene impares:

$$-\frac{\pi}{a} \leq k \leq \frac{\pi}{a}$$

• Período:

$$k = \frac{n \cdot 2\pi}{N a}; n \in \mathbb{Z}. \text{ Se mantiene } -\frac{\pi}{a} \leq k \leq \frac{\pi}{a}$$

$$E_n = \alpha + 2\beta \cos k_n a \quad \begin{matrix} \beta > 0 \\ \text{y } \beta > 0 \text{ al que sea} \\ \text{debe} \end{matrix}$$

$$\Psi_n = \sum_{p=1}^N e^{ipk_n a} \psi(x-pa)$$

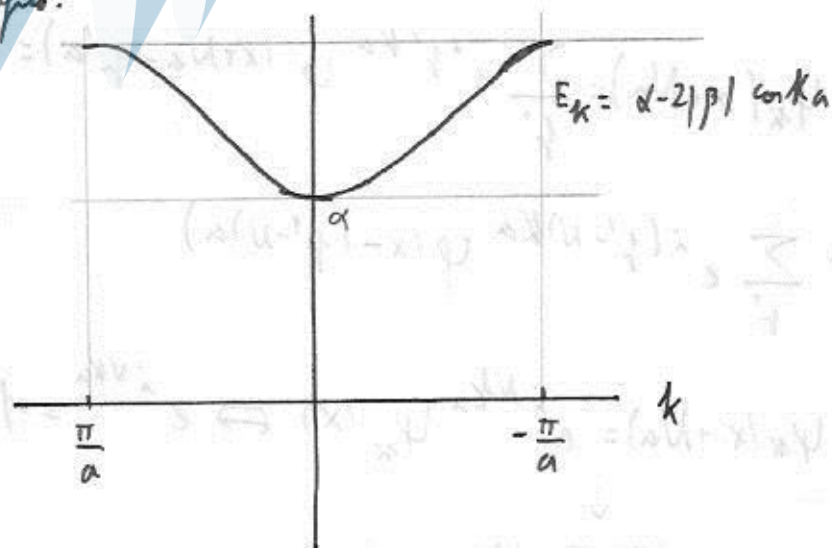
(hay periodicidad en k)

• Alguna definición:

. A los puntos  $m \cdot \frac{2\pi}{a}$  con  $m \in \mathbb{Z}$  se les denuncia red reciproca

. Al intervalo  $[-\frac{\pi}{a}, \frac{\pi}{a}]$  se le llama primera zona de Brillouin

• Vamos ver algún gráfico:



Cos k es positivo continuo, aquí tengo producido una banda de energía.

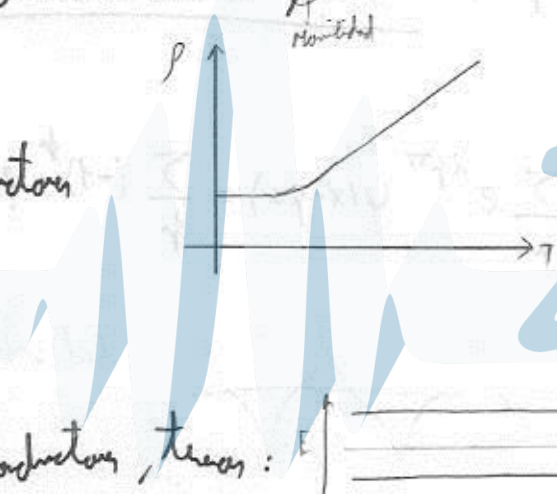
- La banda se denota por el orbital que cada átomo aparta.
- P.ej., si cada átomo aparta un  $e^-$  y un orbital tipo s, la banda estaría a la mitad (Banda de conducción). Si aparta 2, estaría llena! (Banda de valencia)  
(en  $E_g$  que las bandas son más pequeñas, tiene un semiconductor)
- La región entre bandas es una región prohibida: no hay  $e^-$  con esas energías.

• Vamos a analizar la conducción:

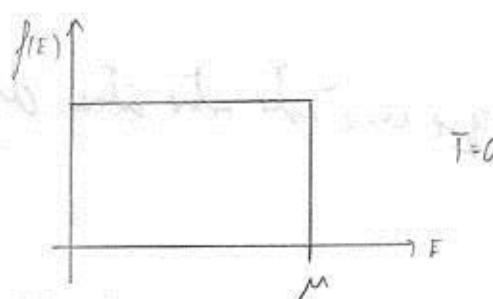
$$\vec{J} = Nq\vec{v}$$

se puede modelizar  $\vec{v} = \mu \vec{E}$   $\Rightarrow \vec{J} = (Nq\mu) \frac{\vec{E}}{\sigma} = \frac{Nq\mu}{\sigma} \vec{E}$

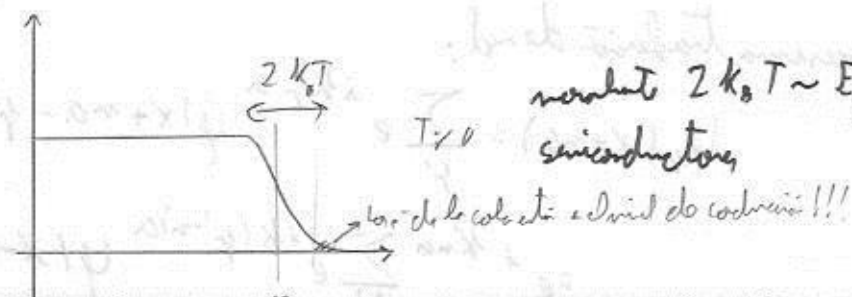
• En conductores



• En semiconductores, típicos:



para finos:



notar!  $2k_B T \sim E_g$  para semiconductores

lo de los colores es trivial de codificar!!!

$$f_e \approx C_e e^{-\frac{E_c - \mu}{k_B T}} ; f_h \approx C_h e^{-\frac{\mu - E_v}{k_B T}} \quad (\text{recuerde } e^{\frac{E_c - \mu}{k_B T}})$$

an; la densidad de portadores se definen:

$$N = \sqrt{n_{e+n_h}} = C e^{-\frac{\Delta E}{2k_B T}}$$

$\rightarrow$  es KTB (la energía es  $\Delta E$ )

$$j = \frac{1}{N q \mu}, \text{ que bajo el umbral } T \text{ pasan } N$$

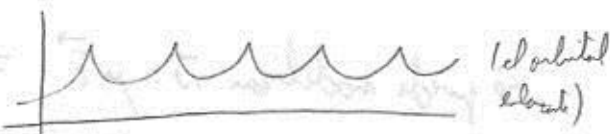


$$j = j_0 e^{\frac{\Delta E}{k_B T}}$$

Volvemos al estado cuántico:

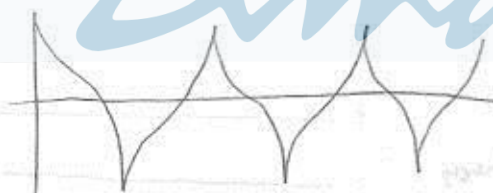
- Para  $k=0$ ,  $\Psi_{k=0}(x) = \sum_p \psi(x-pa)$

(energía nula  
de los lados)



- Para  $k=\pi/a$  (electrón),  $\Psi_{k=\pi/a}(x) = \sum_p e^{ip\pi} \psi(x-pa) = \sum_p (-1)^p \psi(x-pa)$

(energía máxima  
de los lados)



Alcanzar  $K$ , la probabilidad de que un  $e^-$  entre entre átomos disimiles, apatallando, y la situación en reposo estable.

Vamos hacer una traslación de red:

$$\Psi_K(x+na) = \sum_{p'} e^{ikp'a} \psi(x+na - p'a) =$$

$$= e^{ikna} \sum_{p'} e^{ik(p'-n)a} \psi(x-(p'-n)a)$$

$$\text{Clas } p'^{-n} \equiv p \Rightarrow \Psi_K(x+na) = e^{ikna} \sum_p e^{ikpa} \psi(x-pa) = e^{ikna} \Psi_K(x)$$

a algún función que cumple esto se le llama función de Bloch o onda de Bloch:

$$\psi(x+T) = e^{ikT} \psi(x); \text{ con } T \text{ periodo de la onda}$$

$$(\text{en 3D, } \psi(\vec{r}+\vec{T}) = e^{i\vec{k}\cdot\vec{T}} \psi(\vec{r}))$$

(aquí han aparecido ondas de Bloch para todo posiblemente C.C. periódicas)

-Alguna onda de Bloch se puede poner así:

$$\psi_k(x) = e^{ikx} u_k(x) \quad \text{una onda plana con función } u_k$$

Vamos a ver cómo debe ser  $u_k$ :

$$u_k(x+na) = e^{-ik(x+na)} \psi_k(x+na) =$$

$$= e^{-ikx} e^{-ikna} \underbrace{\psi_k(x+na)}_{u_k(x)} = e^{-ikx} \psi_k(x) = u_k(x)$$

$u_k$  es una función con la periodicidad de la red

↓

La densidad de probabilidad tiene la periodicidad de la red

diseñada